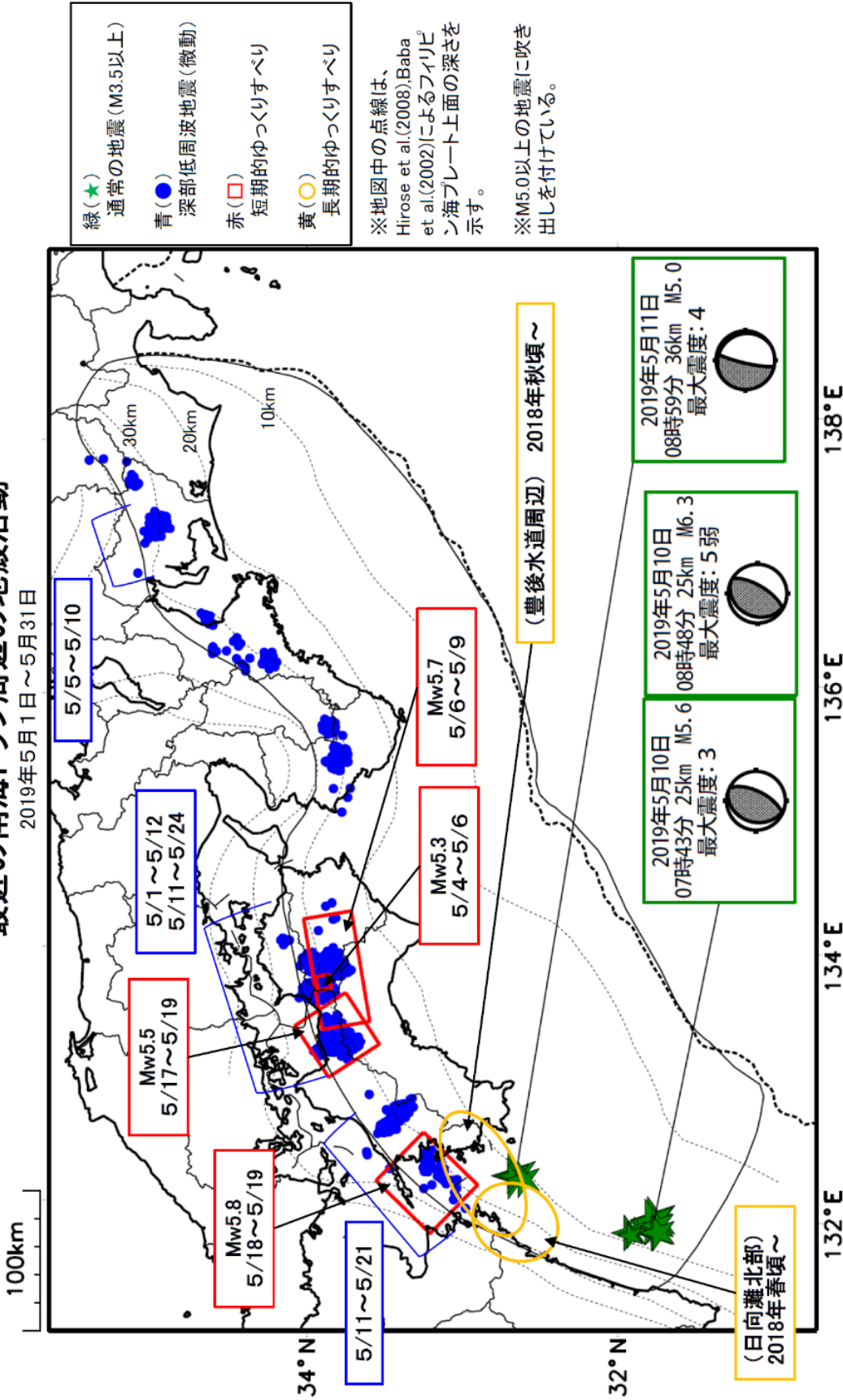


最近の南海トラフ周辺の地殻活動

2019年5月1日～5月31日



通常の地震 (M3.5以上)……………気象庁の解析結果による。
 深部低周波地震(微動)……………(震源データ)気象庁の解析結果による。(活動期間)防災科学技術研究所及び気象庁の解析結果による。
 短期的ゆっくりすべり……………産業技術総合研究所の解析結果による。
 長期的ゆっくりすべり……………【日向灘北部】(豊後水道周辺)国土地理院の解析結果を元におよその場所を表示している。

気象庁作成

令和元年5月1日～令和元年6月5日の主な地震活動

○南海トラフ巨大地震の想定震源域およびその周辺の地震活動：

【最大震度3以上を観測した地震もしくはM3.5以上の地震及びその他の主な地震】

月/日	時:分	震央地名	深さ (km)	M	最大 震度	発生場所
5/10 ～	5月10日 07:43	日向灘	25	5.6	3	フィリピン海プレートと陸のプレートの境界
	5月10日 08:48	日向灘	25	6.3	5弱	フィリピン海プレートと陸のプレートの境界
・上記の2つの地震とほぼ同じ場所で、5月10日07時43分以降、M3.5以上の地震が12回（上記の2つの地震を含む）発生している（5月31日24時現在）。						
5/11 ～	5月11日 08:59	日向灘	36	5.0	4	フィリピン海プレート内部
	・上記の地震とほぼ同じ場所で、5月11日08時59分以降、M3.5以上の地震が4回（上記の地震を含む）発生している（5月31日24時現在）。					

※震源の深さは、精度がやや劣るものは表記していない。

○深部低周波地震（微動）活動期間

四国	紀伊半島	東海
■四国東部 <u>5月1日～2日</u> <u>5月4日～12日</u> } ……(1) 5月15日、5月19日～21日 5月23日、5月28日～6月1日	■紀伊半島北部 5月8日～9日 5月11日～12日 5月14日～17日 5月20日、5月23日～25日 5月29日	<u>5月5日～10日</u> ……(2) 5月12日～17日 5月27日
■四国中部 <u>5月1日～4日</u> ……(1) <u>5月11日～14日</u> <u>5月16日～23日</u> ^{注1)} } ……(3)	■紀伊半島中部 5月20日～21日 5月26日、5月29日 6月3日	
■四国西部 5月2日～3日 5月7日～9日 <u>5月11日～21日</u> ……(4) 5月23日～24日 5月29日、6月1日～3日 6月5日～（継続中）	■紀伊半島西部 5月9日、5月12日～13日 5月18日～19日 5月21日～22日 5月26日～27日 6月2日～（継続中）	

※深部低周波地震（微動）活動は、気象庁一元化震源を用い、地域ごとの一連の活動（継続日数2日以上または活動日数1日の場合で複数個検知したもの）について、活動した場所ごとに記載している。

※ひずみ変化と同期して観測された深部低周波地震（微動）活動を赤字で示す。

※上の表中（1）～（4）を付した活動は、今期間、主な深部低周波地震（微動）活動として取り上げたもの。

注1）防災科学技術研究所による解析では、5月24日頃まで継続。

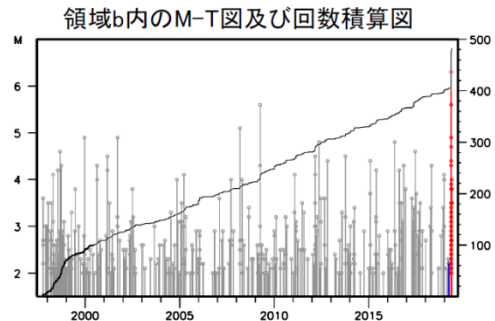
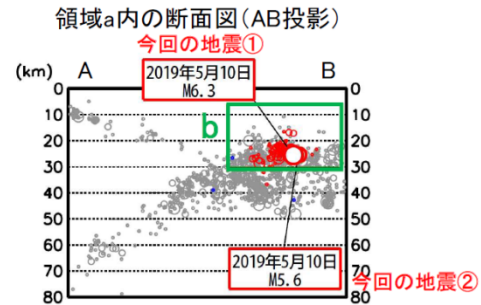
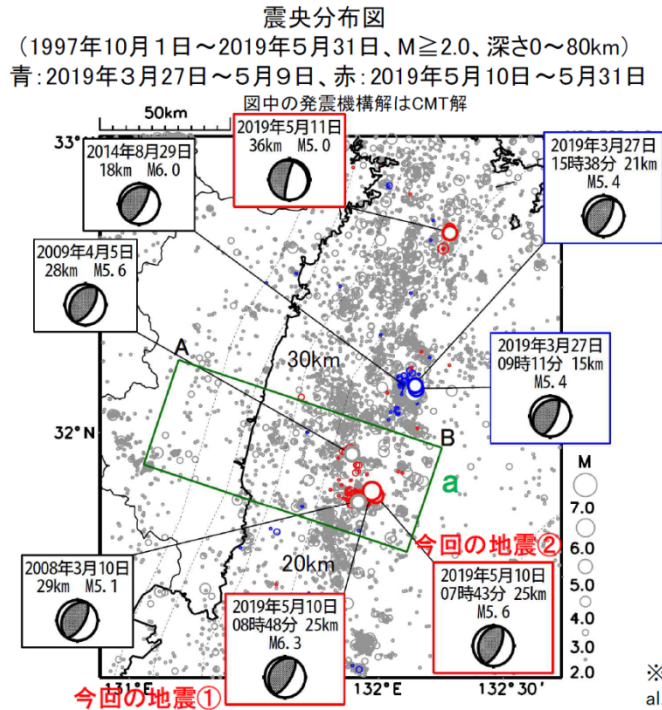
気象庁作成

5月10日 日向灘の地震

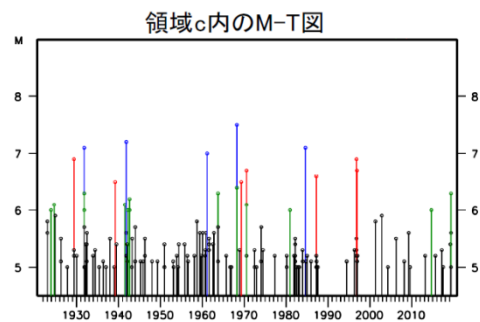
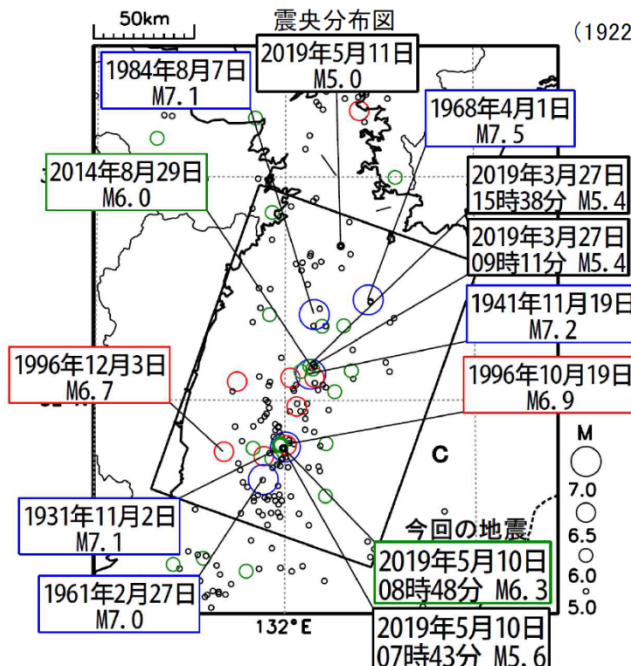
5月10日08時48分に、日向灘でM6.3の地震（深さ25km、最大震度5弱、今回の地震①）が発生した。この地震の発生前の同日07時43分にほぼ同じ場所でM5.6の地震（深さ25km、最大震度3、今回の地震②）が発生した。これらの地震は、いずれも発震機構（CMT解）が西北西-東南東方向に圧力軸を持つ逆断層型で、フィリピン海プレートと陸のプレートの境界で発生した。07時43分の地震発生以降、付近でややまとまった活動となった。

1997年10月以降の活動を見ると、今回の地震の震源付近（領域b内）は、定常的に地震活動が見られる。日向灘では、2019年3月27日にM5.4の地震が2回発生したが、今回の地震は、3月27日の地震とは異なる場所で発生した。また、2019年5月11日に発生したM5.0の地震（深さ36km、最大震度3）は、フィリピン海プレート内部で発生した地震である。

1922年以降の日向灘の地震活動を見ると、M5.0以上の地震はしばしば発生している。今回の地震の震源付近では、1931年11月2日にM7.1の地震、1996年10月19日にM6.9の地震が発生した。M6.5以上の地震は時々発生しているが、1997年以降は発生していない。M6.0以上の地震が発生したのは、2014年8月29日のM6.0の地震以来であった。



※震央分布図中の点線は、Hirose et al.(2008)、Baba et al.(2002)によるフィリピン海プレート上面の深さを示す。



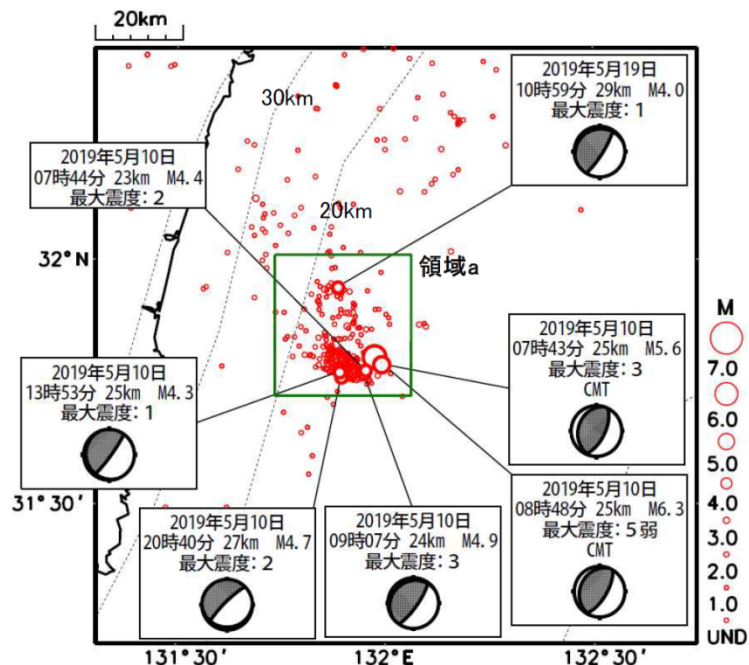
※M7.0以上の地震、1990年以降に発生したM6.0以上の地震、2019年に発生した地震に吹き出しを付加している。

気象庁作成

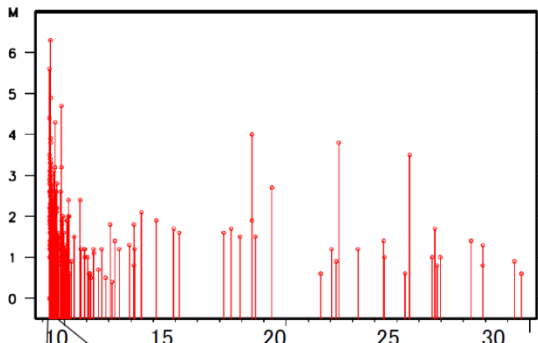
5月10日の日向灘の地震発生前後の地震活動の状況

震央分布図

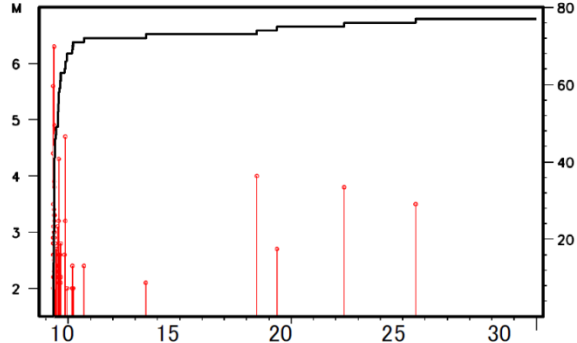
（2019年5月10日～2019年5月31日、M全て、深さ0～40km）



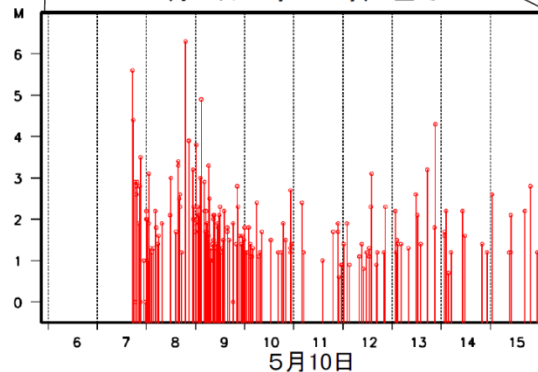
領域a内のMT図(M全て)



領域a内のMT図及び回数積算図(M ≥ 2.0)



5月10日06時～16時、M全て



※震央分布図中の点線は、Hirose et al.(2008)、Baba et al.(2002)によるフィリピン海プレート上面の深さを示す。

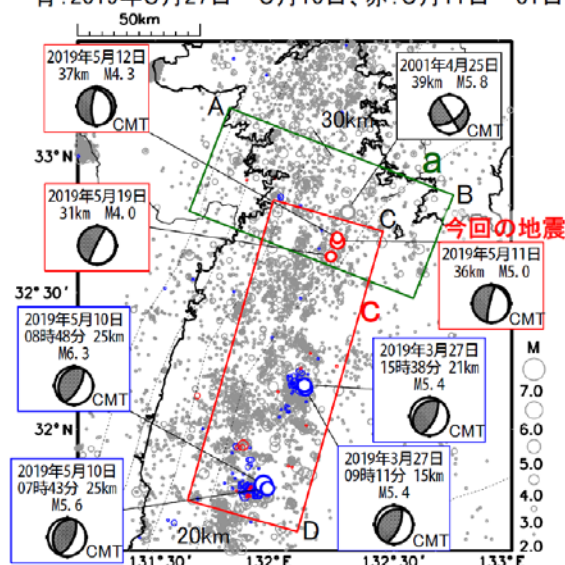
5月11日 日向灘の地震

5月11日08時59分に、日向灘でM5.0の地震（深さ36km、最大震度4）が発生した。この地震は発震機構が東西方向に張力軸を持つ正断層型でフィリピン海プレート内部で発生した。この地震の発生後ややまとまった活動となり、M3.5以上の地震が今回の地震を含め4回発生した。

日向灘では、2019年3月27日にM5.4の地震が2回発生し、2019年5月10日にM6.3の地震が発生したが、今回の地震は5月10日の地震とは北北東に約100km離れた場所で発生した。

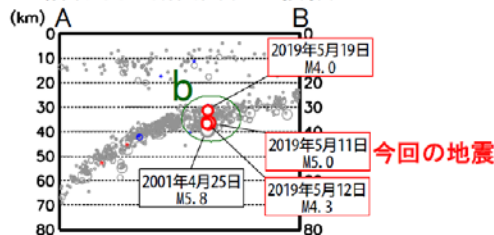
1997年10月以降の活動を見ると、今回の地震の震源付近（領域b内）は、定常的に地震活動がみられ、2001年4月25日にM5.8の地震（最大震度4）が発生した。

震央分布図
（1997年10月1日～2019年5月31日、M \geq 2.0、深さ0～80km）
青：2019年3月27日～5月10日、赤：5月11日～31日

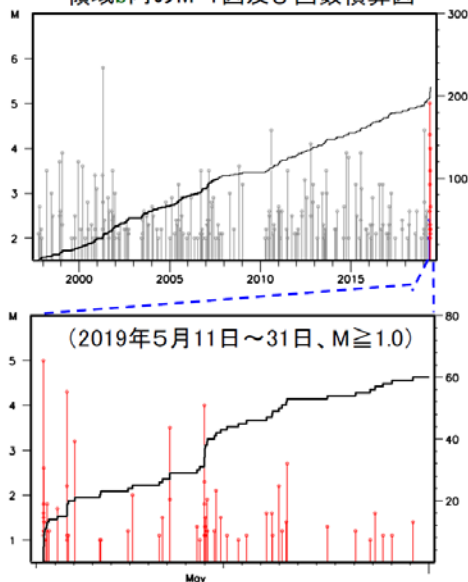


※震央分布図中の点線は、Hirose et al.(2008)、Baba et al.(2002)によるフィリピン海プレート上面の深さを示す。

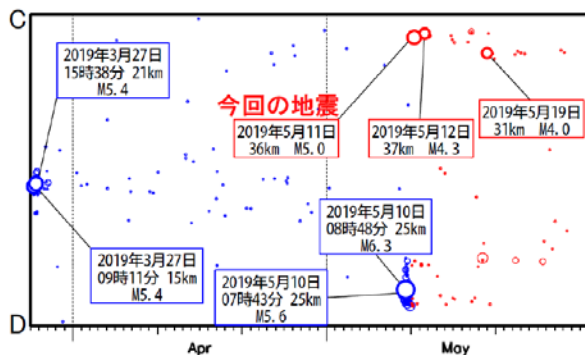
領域a内の断面図(A-B投影)



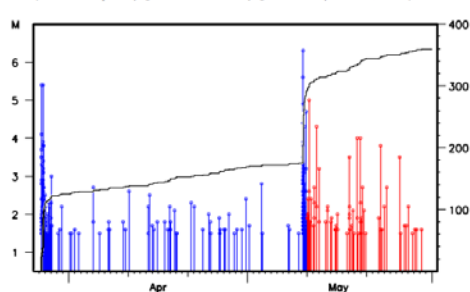
領域b内のM-T図及び回数積算図



領域c内の時空間分布図
（2019年3月27日～5月31日、M \geq 1.5）



領域c内のM-T図及び回数積算図
（2019年3月27日～5月31日、M \geq 1.5）



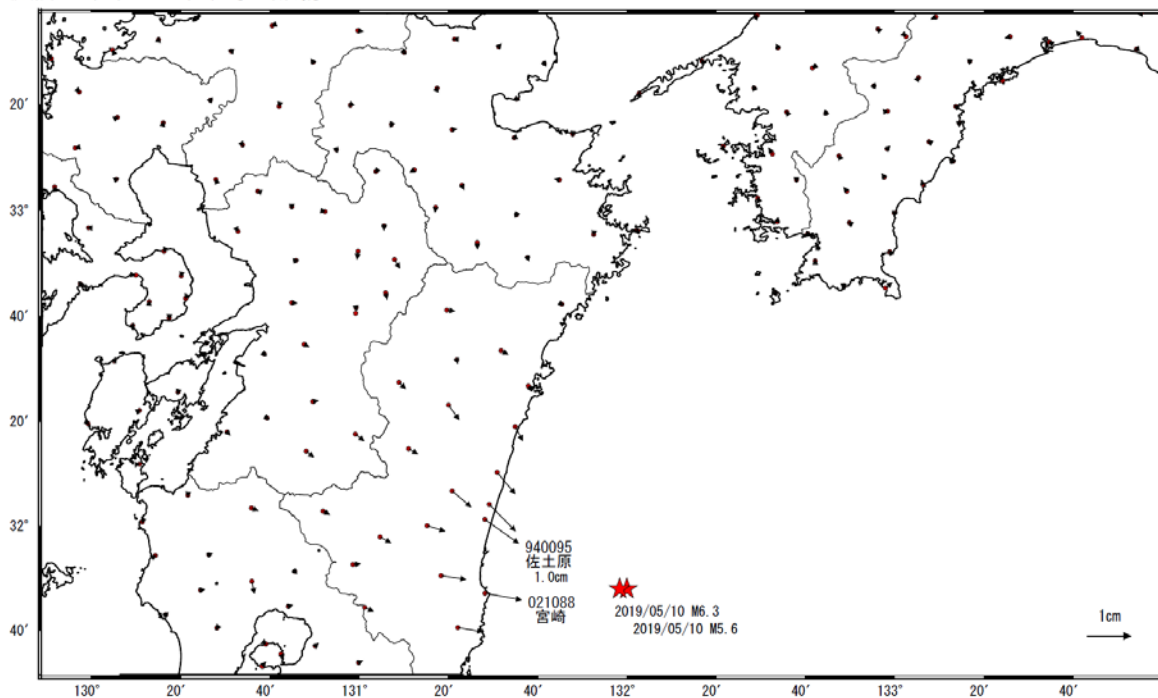
気象庁作成

日向灘の地震(5月10日 M5. 6, M6. 3)前後の観測データ

この地震に伴い小さな地殻変動が観測された。

地殻変動（水平）

基準期間：2019/05/02～2019/05/08[F3:最終解]
比較期間：2019/05/10～2019/05/16[F3:最終解]

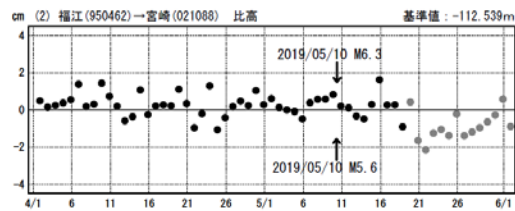
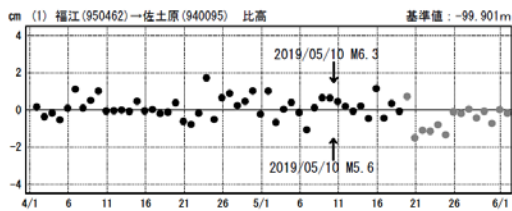
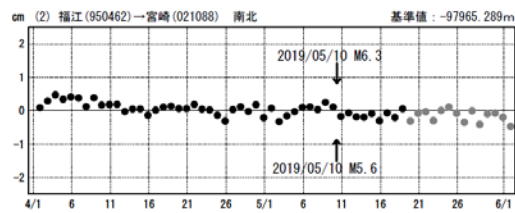
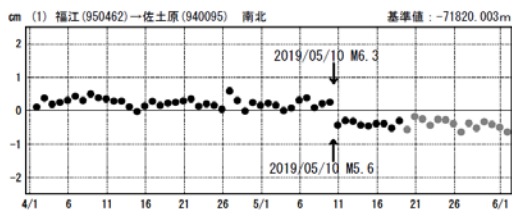
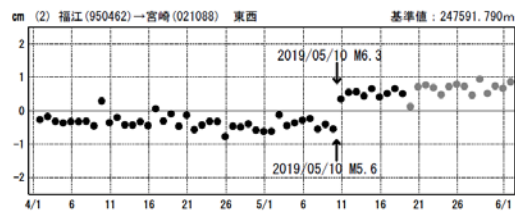
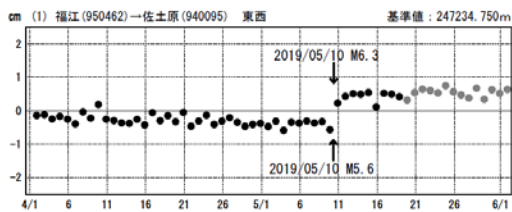


☆ 固定局：福江(950462) ★ 震央

成分変化グラフ

期間：2019/04/01～2019/06/01 JST

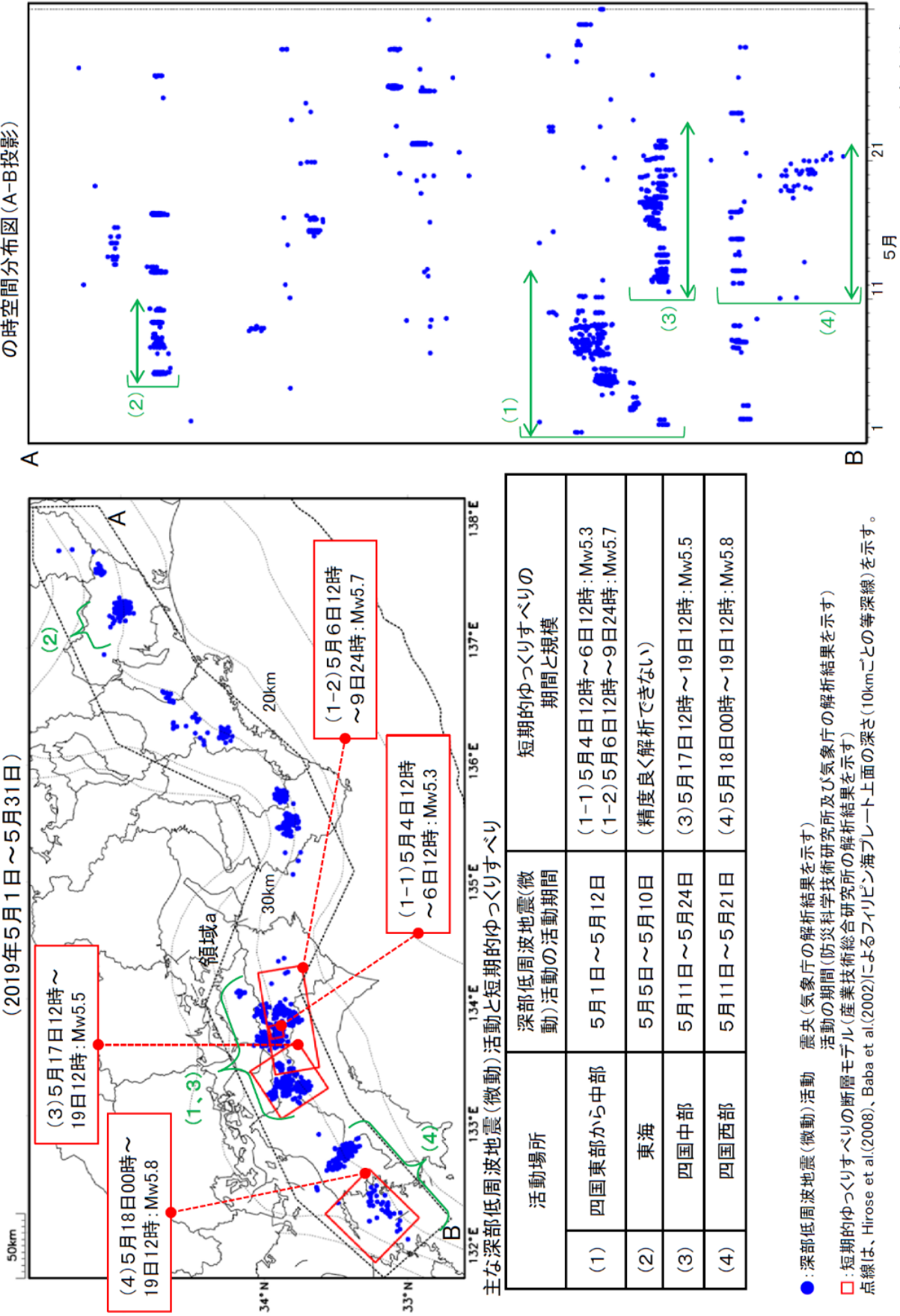
期間：2019/04/01～2019/06/01 JST



●—[F3:最終解] ●—[R3:速報解]

深部低周波地震（微動）活動と短期的ゆっくりすべりの全体概要

深部低周波地震（微動）の震央分布図と短期的ゆっくりすべりの断層モデル
 領域a（点線領域）内の深部低周波地震（微動）の時空間分布図（A-B投影）



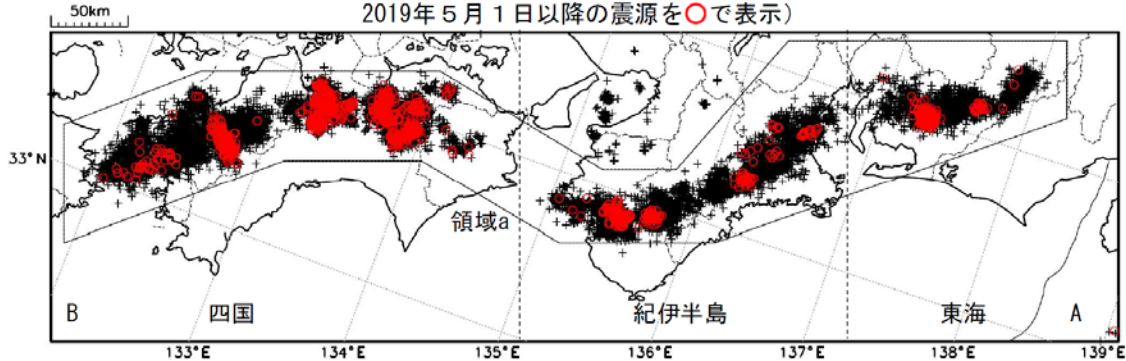
● : 深部低周波地震(微動)活動 震央(気象庁の解析結果を示す)
 □ : 短期的ゆっくりすべりの断層モデル(産業技術総合研究所の解析結果を示す)
 点線は、Hirose et al.(2008)、Baba et al.(2002)によるフイリピン海プレート上面の深さ(10kmごとの等深線)を示す。

気象庁作成

深部低周波地震（微動）活動（2009年6月1日～2019年5月31日）

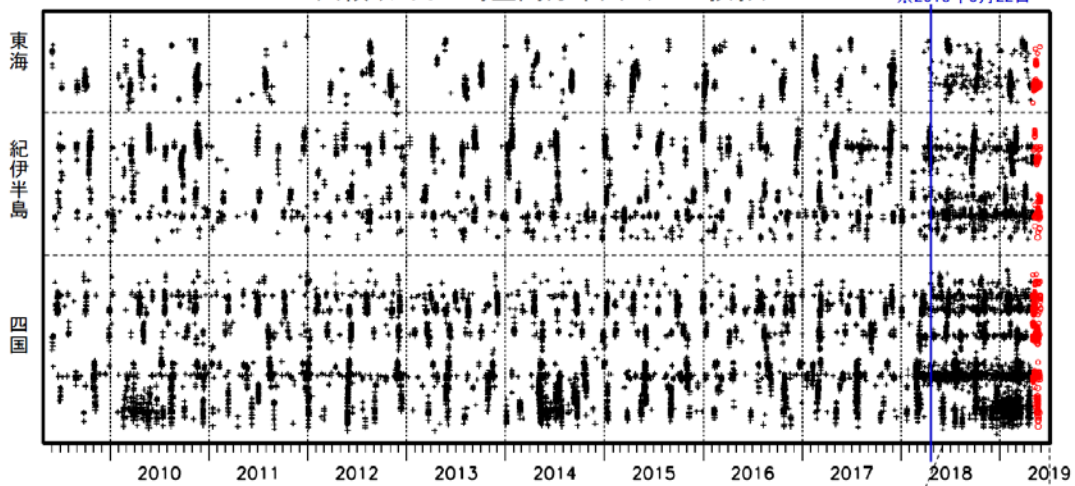
深部低周波地震（微動）は、「短期的ゆっくりすべり」に密接に関連する現象とみられており、プレート境界の状態の変化を監視するために、その活動を監視している。

震央分布図（2009年6月1日～2019年5月31日：過去10年間
2019年5月1日以降の震源を○で表示）

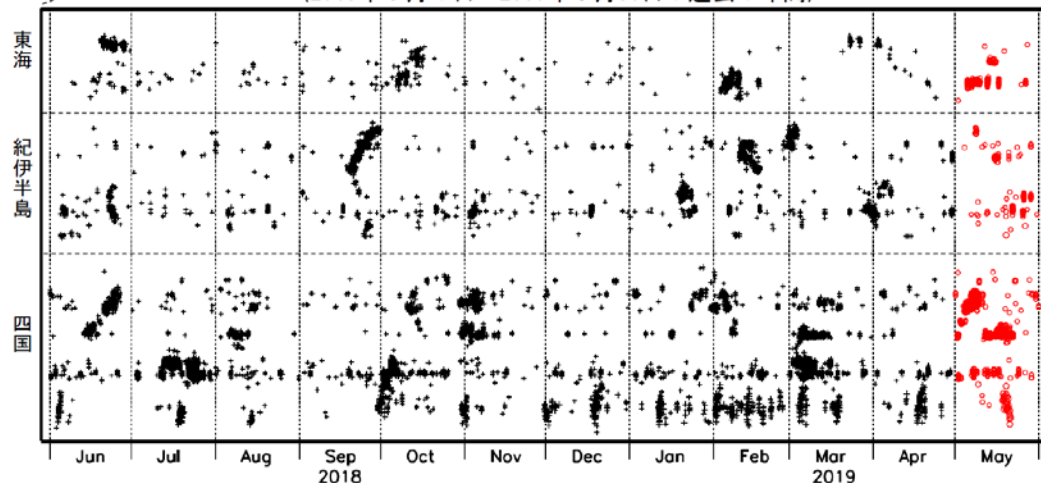


上図領域a内の時空間分布図（A-B投影）

※2018年3月22日



（2018年6月1日～2019年5月31日：過去1年間）



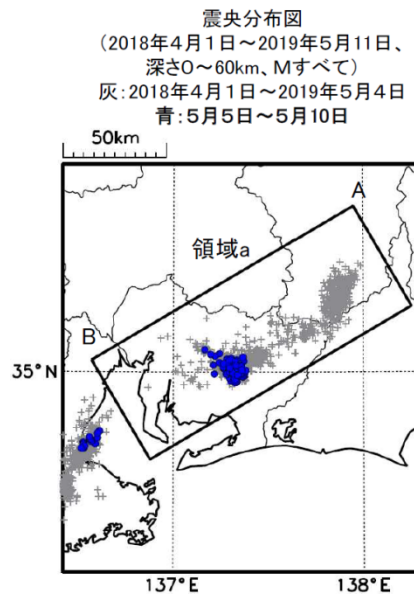
※2018年3月22日から、深部低周波地震（微動）の処理方法の変更（Matched Filter法の導入）により、それ以前と比較して検知能力が変わっている。

気象庁作成

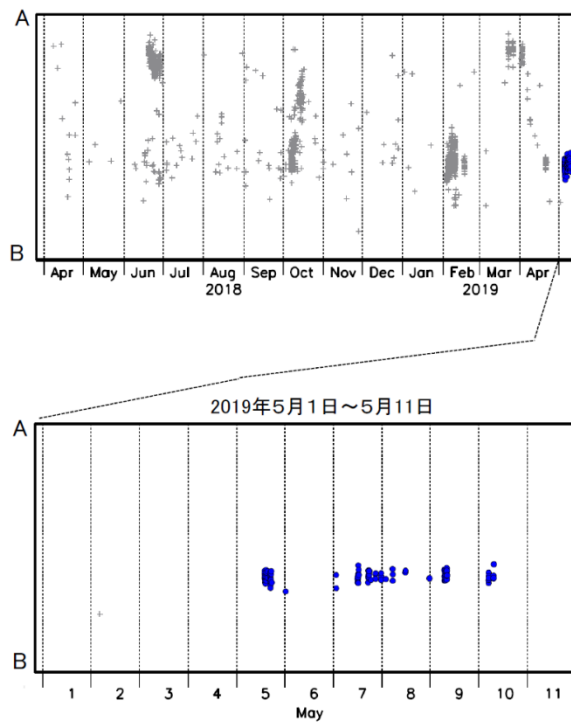
東海の深部低周波地震（微動）活動と 短期的ゆっくりすべり

5月5日から5月10日にかけて東海で深部低周波地震（微動）を観測した。周辺に設置されているひずみ計で、深部低周波地震（微動）に関連すると思われるわずかな地殻変動が観測された。

深部低周波地震（微動）活動



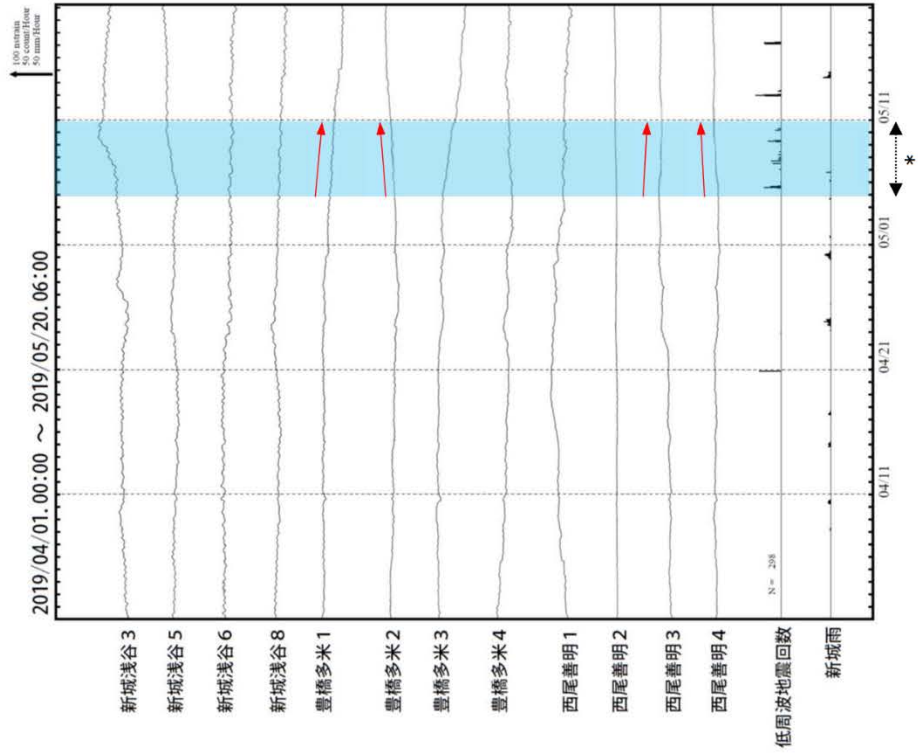
震央分布図の領域a内の時空間分布図（AB投影）



気象庁作成

東海で観測したひずみ変化（5月5日～10日）

愛知県で観測されたひずみ変化



*の期間にひずみの変化はみられるものの、断層モデルを精度よく求められなかった。

豊橋多米及び西尾善明は産業技術総合研究所のひずみ計である。

気象庁作成

四国の深部低周波地震(微動)活動とゆっくりすべり

【四国東部、四国中部】

(A) 5月1日から12日にかけて四国中部から四国東部で深部低周波地震(微動)を観測した。

(B) 5月11日から23日にかけて四国中部で深部低周波地震(微動)を観測した。

周辺に設置されているひずみ計で、深部低周波地震(微動)に関連すると思われるわずかな地殻変動が観測された。

【四国西部】

(C) 5月11日から21日にかけて四国西部で深部低周波地震(微動)を観測した。このうち、5月18日から21日にかけて豊後水道付近(領域b)で、まとまった活動がみられた。周辺に設置されているひずみ計で、深部低周波地震(微動)に関連すると思われるわずかな地殻変動が観測された。

四国西部の南西側(領域b:豊後水道とその付近)では、2018年秋頃から深部低周波地震(微動)活動が活発になっている。また、2018年秋頃から、周辺に設置されている複数のひずみ計で地殻変動を観測している。これは、豊後水道周辺のプレート境界深部において発生している長期的ゆっくりすべりに起因すると推定される。豊後水道周辺では、2003年～2004年、2010年、2014年にも深部低周波地震(微動)活動が活発となった。これらの時期は、豊後水道周辺で長期的ゆっくりすべりが発生した(国土地理院, 2015, 地震予知連絡会会報第94巻)。

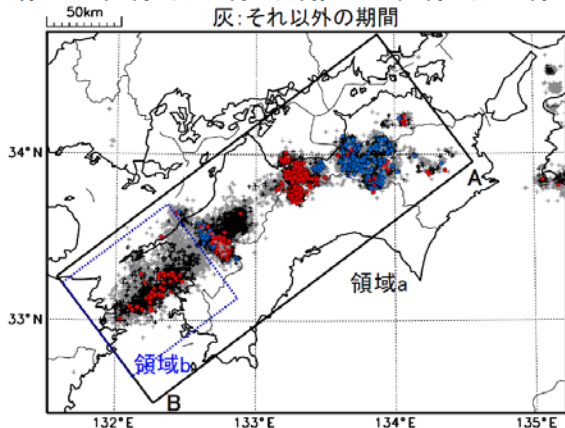
震央分布図

(2002年1月1日～2019年5月31日、深さ0～60km、Mすべて)

黒:2018年9月1日～2019年4月30日、

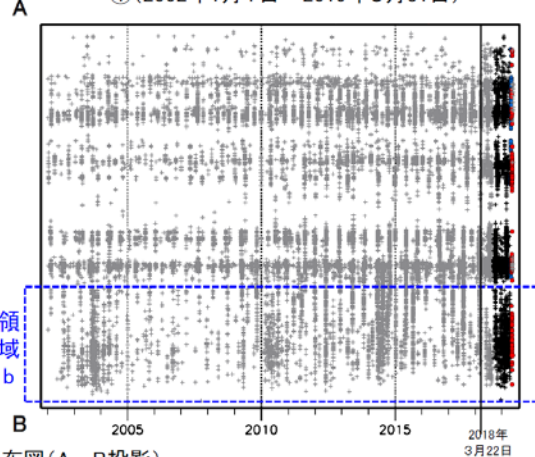
青:2019年5月1日～5月10日、赤:2019年5月11日～5月23日

灰:それ以外の期間



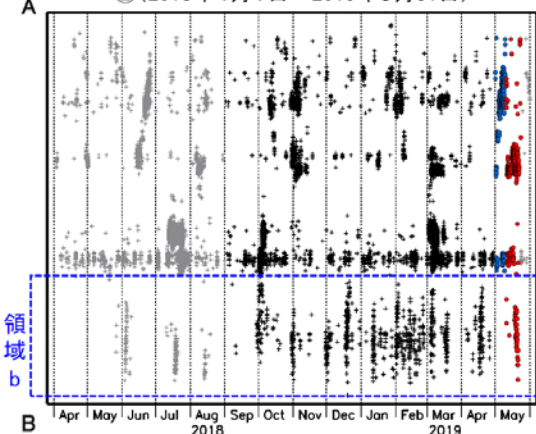
震央分布図の領域a内の時空間分布図(A-B投影)

①(2002年1月1日～2019年5月31日)

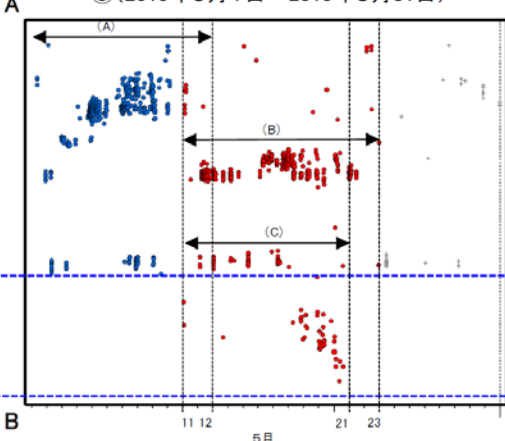


震央分布図の領域a内の時空間分布図(A-B投影)

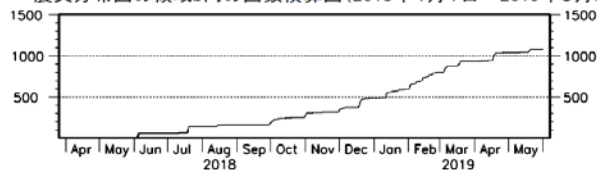
②(2018年4月1日～2019年5月31日)



③(2019年5月1日～2019年5月31日)



震央分布図の領域b内の回数積算図(2018年4月1日～2019年5月31日)



※2018年3月22日から、深部低周波地震(微動)の処理方法の変更(Matched Filter法の導入)により、それ以前と比較して検知能力が変わっている。

気象庁作成

四国の深部低周波微動活動状況（2019年5月）

- 5月2～11日頃に四国中部から東部において、活発な微動活動。
- 5月16～24日頃に四国中部において、やや活発な微動活動。

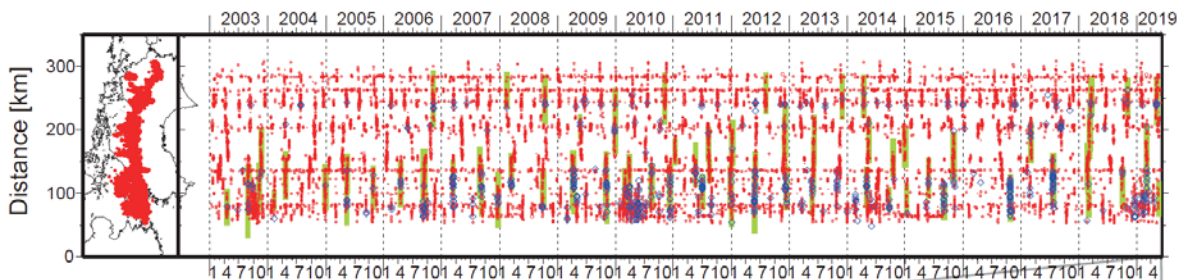


図1. 四国における2003年1月～2019年6月4日までの深部低周波微動の時空間分布(上図). 赤丸はエンベロープ相関・振幅ハイブリッド法 (Maeda and Obara, 2009) およびクラスター処理 (Obara et al., 2010) によって1時間毎に自動処理された微動分布の重心である.

青菱形は周期20秒に卓越する超低周波地震 (Ito et al., 2007) である. 黄緑色太線は、これまでに検出された短期的スロースリップイベント (SSE) を示す. 下図は2019年5月を中心とした期間の拡大図である. 5月2～11日頃には、愛媛県東部から徳島県中部において活発な微動活動がみられた. この活動は愛媛県東部での開始後、5月4日頃から愛媛・徳島県境付近で活発化し、東方向への活動域の移動がみられた. この活動に際し傾斜変動から短期的SSEの断層モデルが推定されている. 5月16～24日頃には愛媛県東部においてやや活発な活動がみられ、活動域は沈み込みの深部側から浅部側に拡大した. 活動に際し近傍の点で傾斜変動がみられるものの、断層モデル推定には至っていない. 5月18～20日頃には豊後水道において小規模な活動がみられ、活動に際し傾斜変動から短期的SSEの断層モデルが推定されている. 5月9～10日頃には豊後水道において、5月11日頃には伊予灘において、5月15日頃には徳島県中部において、5月23日頃には香川県において、5月28日頃には香川・徳島県境付近において、それぞれごく小規模な活動がみられた.

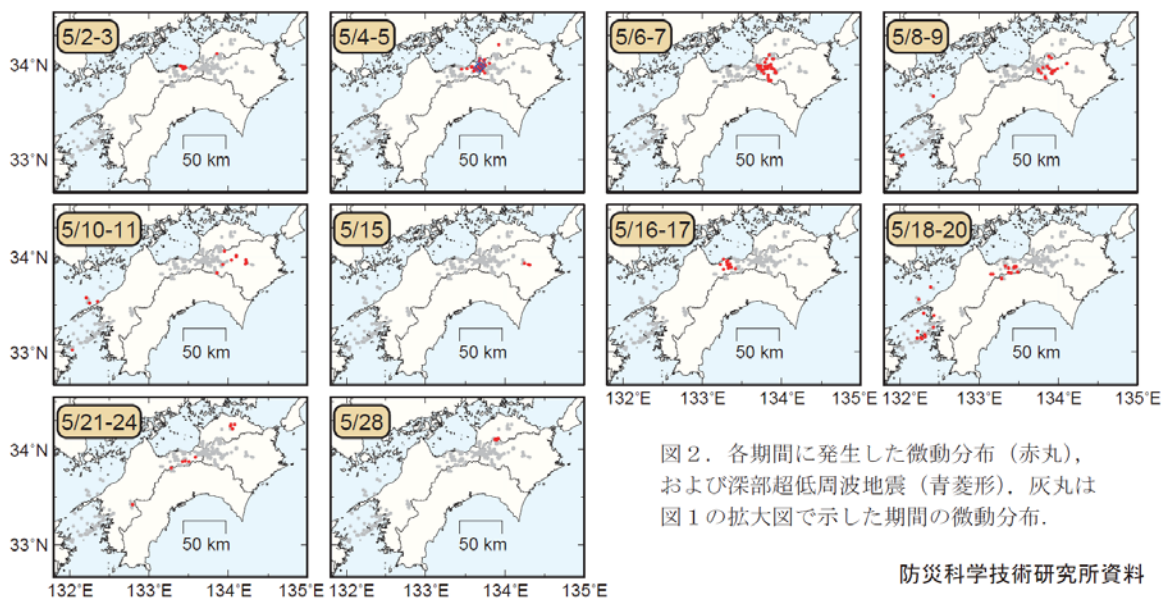


図2. 各期間に発生した微動分布 (赤丸), および深部超低周波地震 (青菱形). 灰丸は図1の拡大図で示した期間の微動分布.

防災科学技術研究所資料

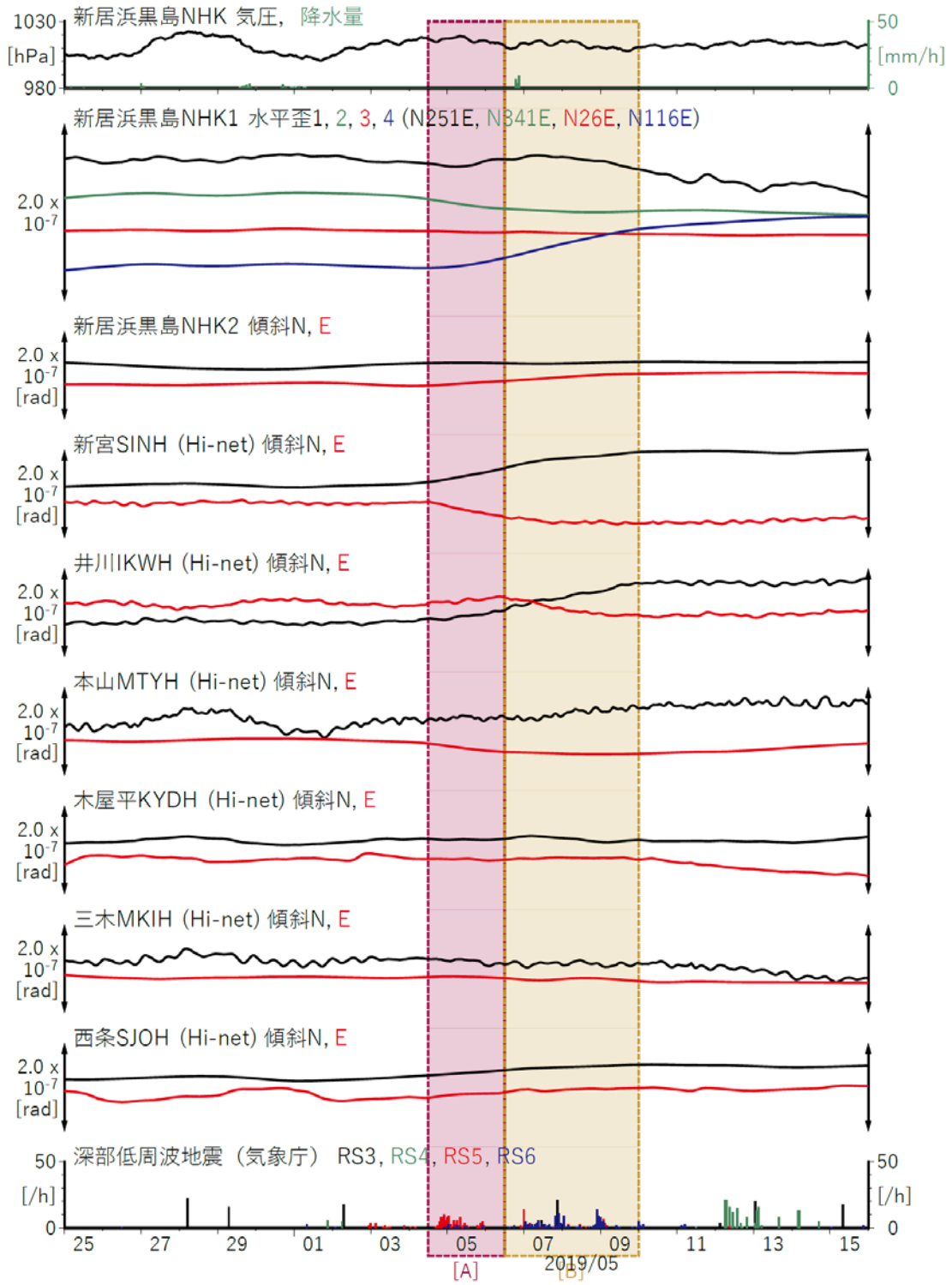
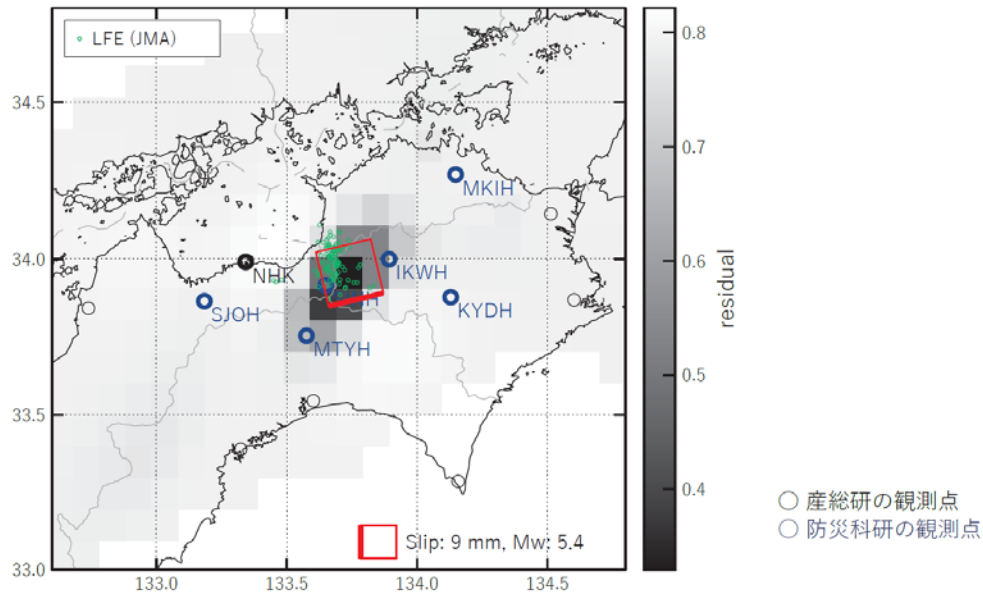


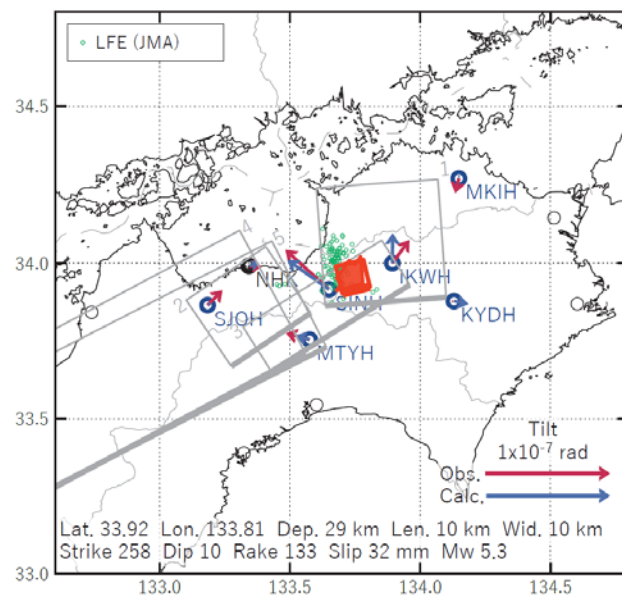
図2 四国地方における歪・傾斜観測結果 (2019/04/25 00:00 - 2019/05/16 00:00 (JST))

[A] 2019/05/04PM-06AM

(a) 断層の大きさを固定した場合の断層モデルと残差分布



(b1) 推定された断層モデル



(b2) 主歪

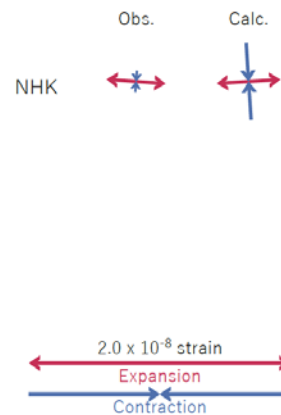


図3 2019/05/04PM-06AMの歪・傾斜変化（図2[A]）を説明する断層モデル。

(a) プレート境界面に沿って分布させた20×20kmの矩形断層面を移動させ、各位置で残差の総和を最小とするすべり量を選んだ時の残差の総和の分布。赤色矩形が残差の総和が最小となる断層面の位置。

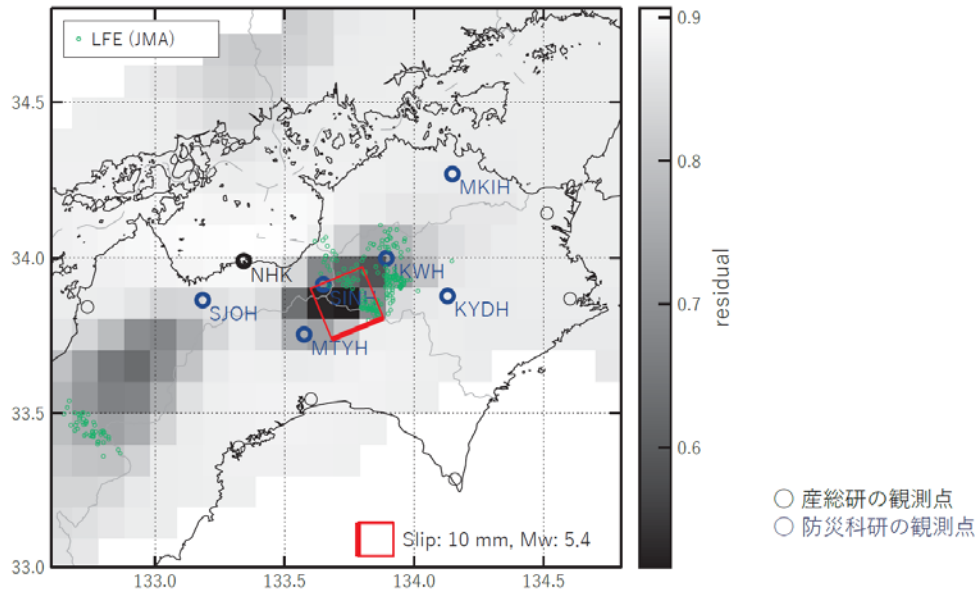
(b1) (a)の位置付近をグリッドサーチして推定した断層面（赤色矩形）と断層パラメータ。灰色矩形は最近周辺で発生したイベントの推定断層面。

- 1: 2018/10/10PM-15 (Mw5.8), 2: 2018/10/31-11/03 (Mw5.5), 3: 2018/11/04-08AM (Mw5.5)
- 4: 2019/03/04PM-06 (Mw6.2), 5: 2019/03/07-09 (Mw6.0)

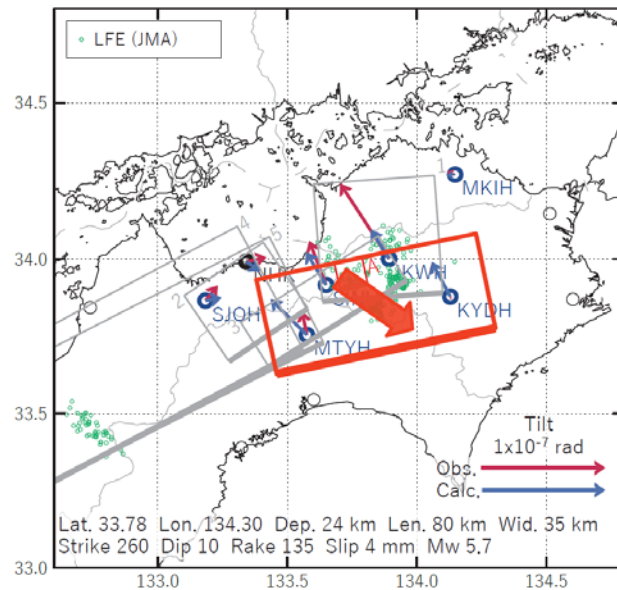
(b2) 主歪の観測値と(b1)に示した断層モデルから求めた計算値との比較。

[B] 2019/05/06PM-09

(a) 断層の大きさを固定した場合の断層モデルと残差分布



(b1) 推定された断層モデル



(b2) 主歪

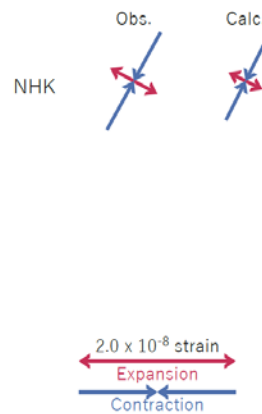


図4 2019/05/06PM-09の歪・傾斜変化（図2[B]）を説明する断層モデル。

(a) プレート境界面に沿って分布させた20×20kmの矩形断層面を移動させ、各位置で残差の総和を最小とするすべり量を選んだ時の残差の総和の分布。赤色矩形が残差の総和が最小となる断層面の位置。

(b1) (a)の位置付近をグリッドサーチして推定した断層面（赤色矩形）と断層パラメータ。灰色矩形は最近周辺で発生したイベントの推定断層面。

1: 2018/10/10PM-15 (Mw5.8), 2: 2018/10/31-11/03 (Mw5.5), 3: 2018/11/04-08AM (Mw5.5)

4: 2019/03/04PM-06 (Mw6.2), 5: 2019/03/07-09 (Mw6.0)

A: 2019/05/04PM-06AM (Mw5.3)

(b2) 主歪の観測値と(b1)に示した断層モデルから求めた計算値との比較。

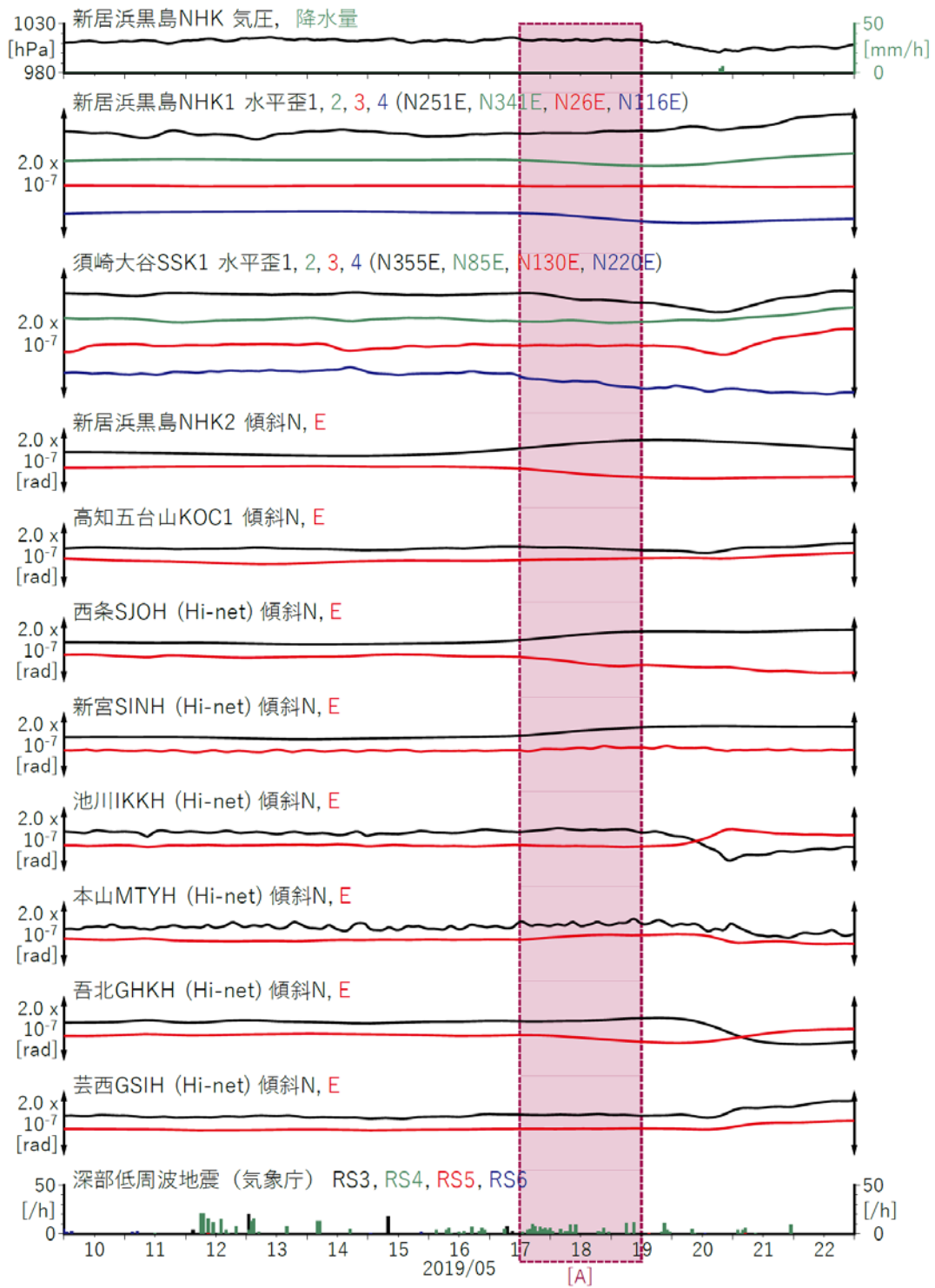
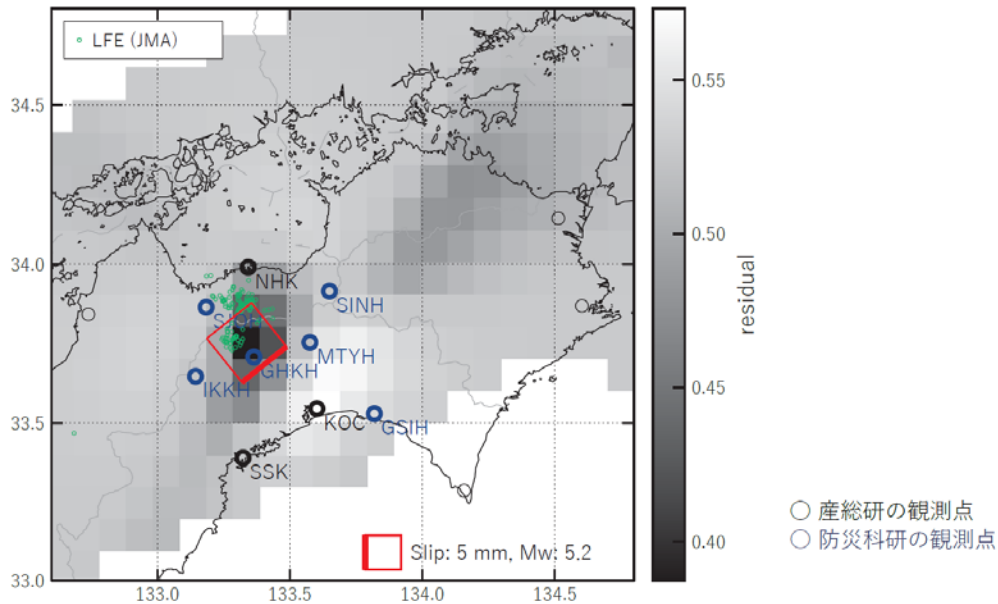


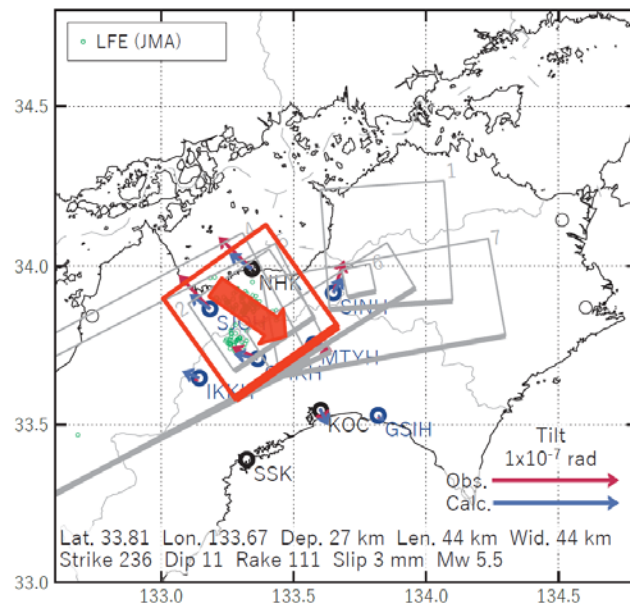
図6 四国地方における歪・傾斜観測結果（2019/05/10 00:00 - 2019/05/23 00:00 (JST)）

[A] 2019/05/17PM-19AM

(a) 断層の大きさを固定した場合の断層モデルと残差分布



(b1) 推定された断層モデル



(b2) 主歪

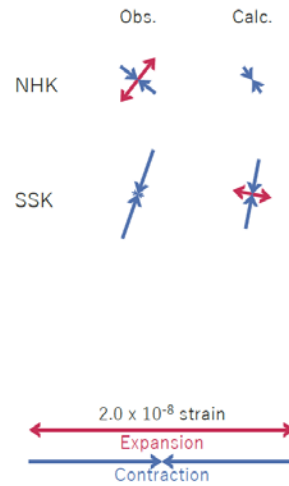


図7 2019/05/17PM-19AMの歪・傾斜変化（図6[A]）を説明する断層モデル。

(a) プレート境界面に沿って分布させた20×20kmの矩形断層面を移動させ、各位置で残差の総和を最小とするすべり量を選んだ時の残差の総和の分布。赤色矩形が残差の総和が最小となる断層面の位置。

(b1) (a)の位置付近をグリッドサーチして推定した断層面（赤色矩形）と断層パラメータ。灰色矩形は最近周辺で発生したイベントの推定断層面。

1: 2018/10/10PM-15 (Mw5.8), 2: 2018/10/31-11/03 (Mw5.5), 3: 2018/11/04-08AM (Mw5.5)

4: 2019/03/04PM-06 (Mw6.2), 5: 2019/03/07-09 (Mw6.0), 6: 2019/05/04PM-06AM (Mw5.3)

7: 2019/05/06PM-09 (Mw5.7)

(b2) 主歪の観測値と(b1)に示した断層モデルから求めた計算値との比較。

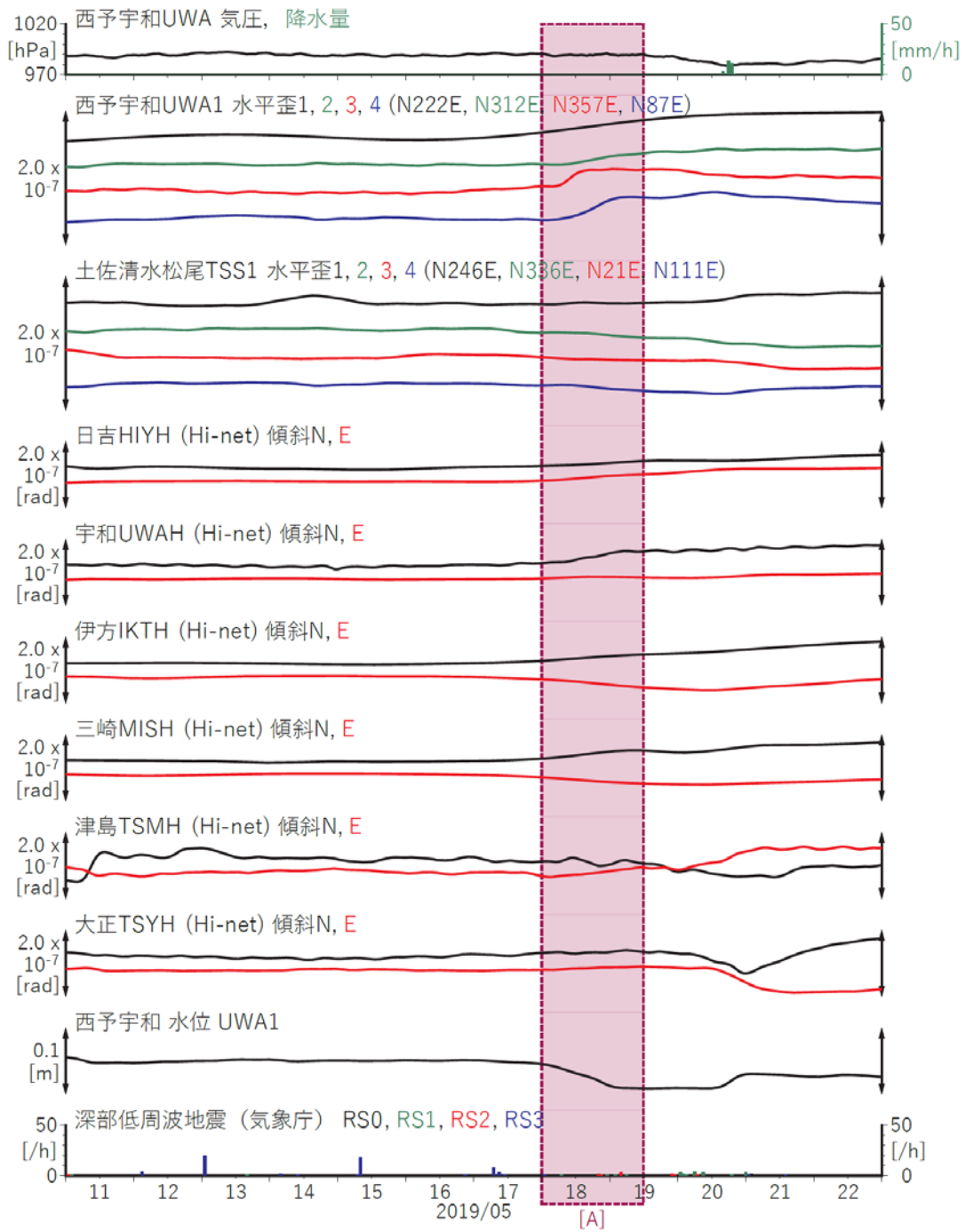
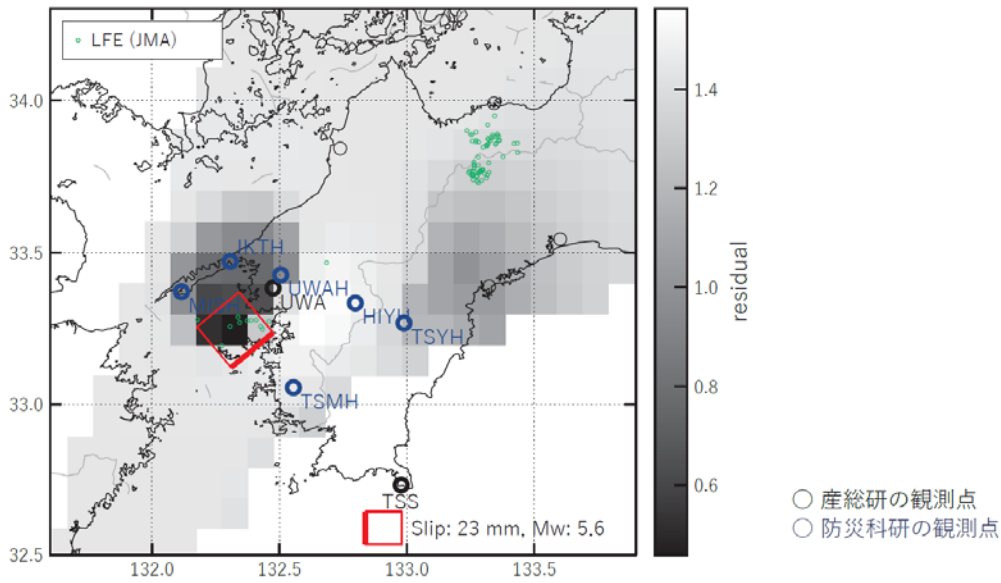


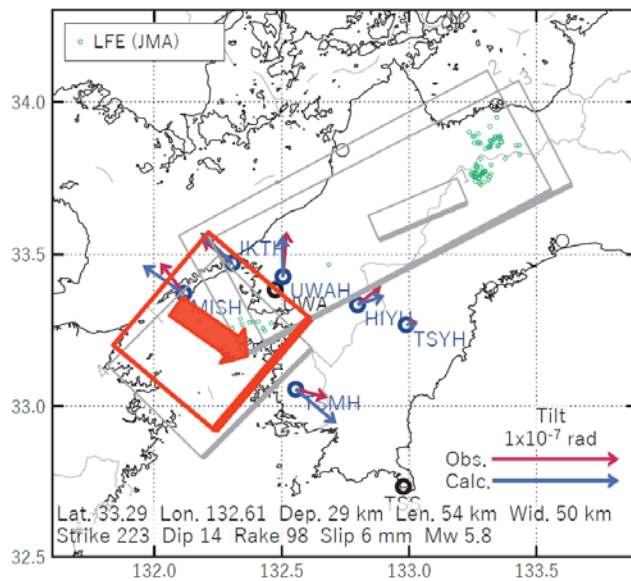
図9 四国地方における歪・傾斜観測結果 (2019/05/11 00:00 - 2019/05/23 00:00 (JST))

[A] 2019/05/18-19AM

(a) 断層の大きさを固定した場合の断層モデルと残差分布



(b1) 推定した断層モデル



(b2) 主歪



(b3) 体積歪

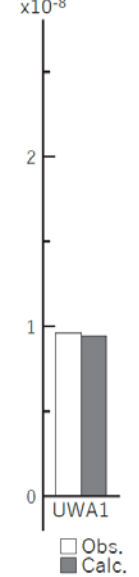


図10 2019/05/18-19AMの歪・傾斜変化（図9[A]）を説明する断層モデル。

(a) プレート境界面に沿って分布させた20×20kmの矩形断層面を移動させ、各位置で残差の総和を最小とするすべり量を選んだ時の残差の総和の分布。赤色矩形が残差の総和が最小となる断層面の位置。

(b1) (a)の位置付近をグリッドサーチして推定した断層面(赤色矩形)と断層パラメータ。灰色矩形は最近周辺で発生したイベントの推定断層面。

1: 2019/03/02-04AM (Mw5.6), 2: 2019/03/04PM-06 (Mw6.2), 3: 2019/03/07-09 (Mw6.0)

4: 2019/04/17-18 (Mw5.7)

(b2) 主歪の観測値と(b1)に示した断層モデルから求めた計算値との比較。

(b3) 体積歪の観測値と(b1)に示した断層モデルから求めた計算値との比較。地下水圧は体積歪に変換して計算している。

四国東部の短期的スロースリップ活動状況（2019年5月）



- ・四国東部を活動域とする短期的スロースリップイベント (M_w 5.8)
- ・2018年10～11月 (M_w 5.8) 以来約6ヶ月ぶり

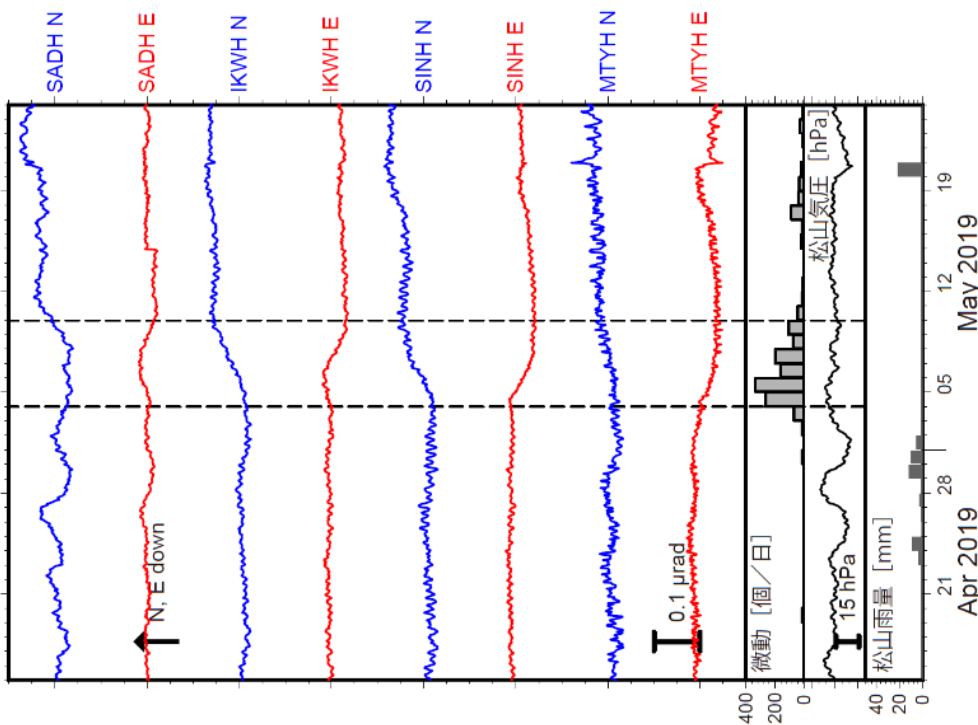


図1：2019年4月15日～5月24日の傾斜時系列。上方への変化が北・東下がり傾斜変動を表し、BAYTAP-Gにより潮汐・気圧応答成分を除去した。5月4日～9日の傾斜変化ベクトルを図2に示す。四国東部での微動活動度・気象庁松山観測点の気圧・雨量をあわせて示す。

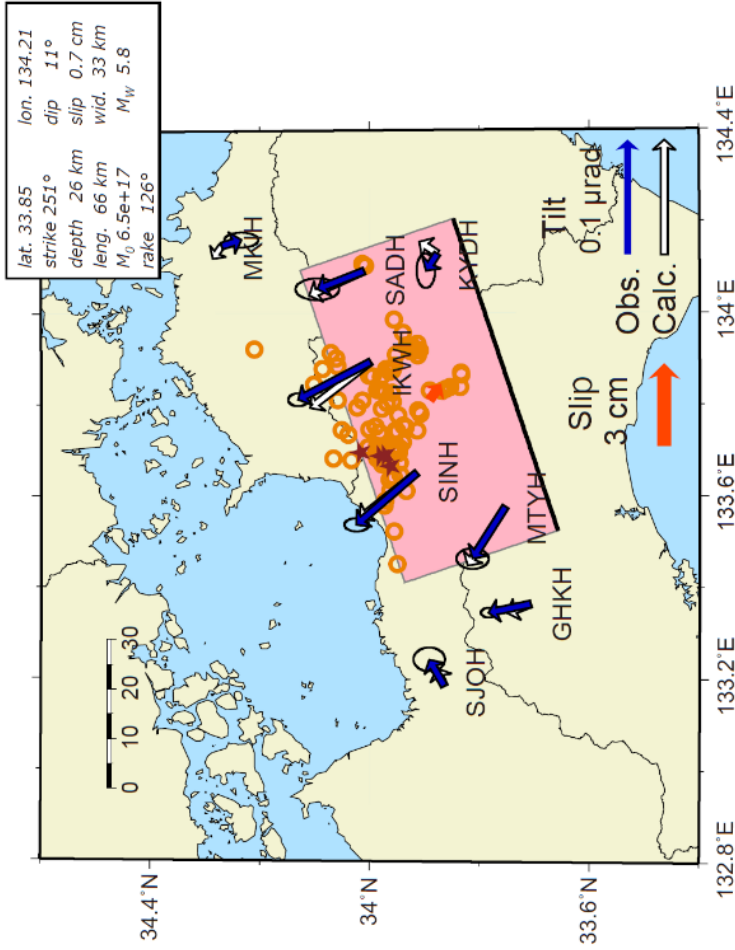


図2：5月4日～9日に観測された傾斜変化ベクトル（青矢印）、推定されたスロースリップイベントの断層モデル（赤矩形・矢印）、モデルから計算される傾斜変化ベクトル（白抜き矢印）を示す。1時間ごとの微動エネルギーの重心位置（橙丸）もあわせて示す。すべり角はプレート相対運動方向に固定している。

謝辞

気象庁のWEBページで公開されている気象データを使用させて頂きました。記して感謝いたします。

豊後水道の短期的スローリップ活動状況（2019年5月）



- ・豊後水道を活動域とする短期的スローリップイベント (Mw 5.8)
- ・2018年9月～10月 (Mw 6.1) 以来約6ヶ月ぶり

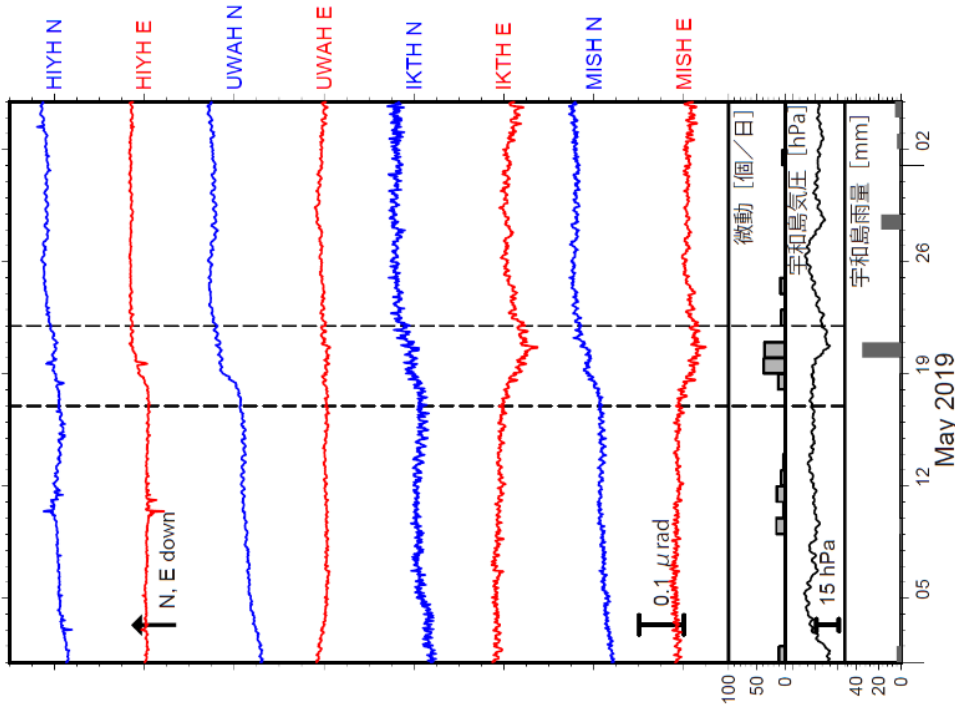


図1：2019年5月1日～6月4日の傾斜時系列。上方への変化が北・東下がり
の傾斜変動を表し、BAYTAP-Gにより潮汐・気圧応答成分を除去した。5月17日
～21日の傾斜変化ベクトルを図2に示す。豊後水道での微動活動度、気象庁宇和
島観測点の気圧・雨量をあわせて示す。

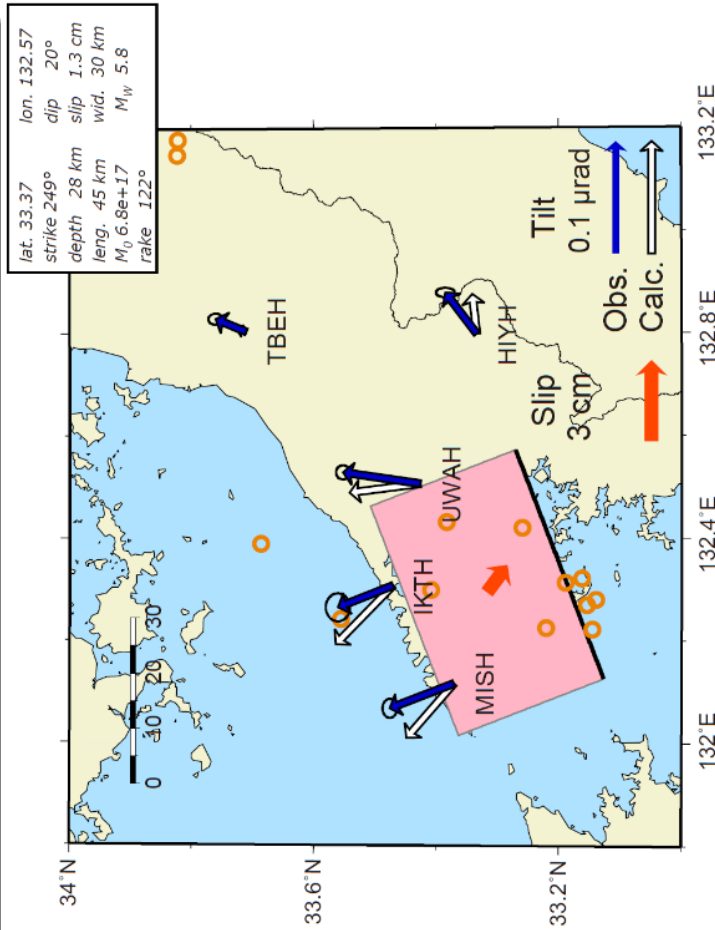


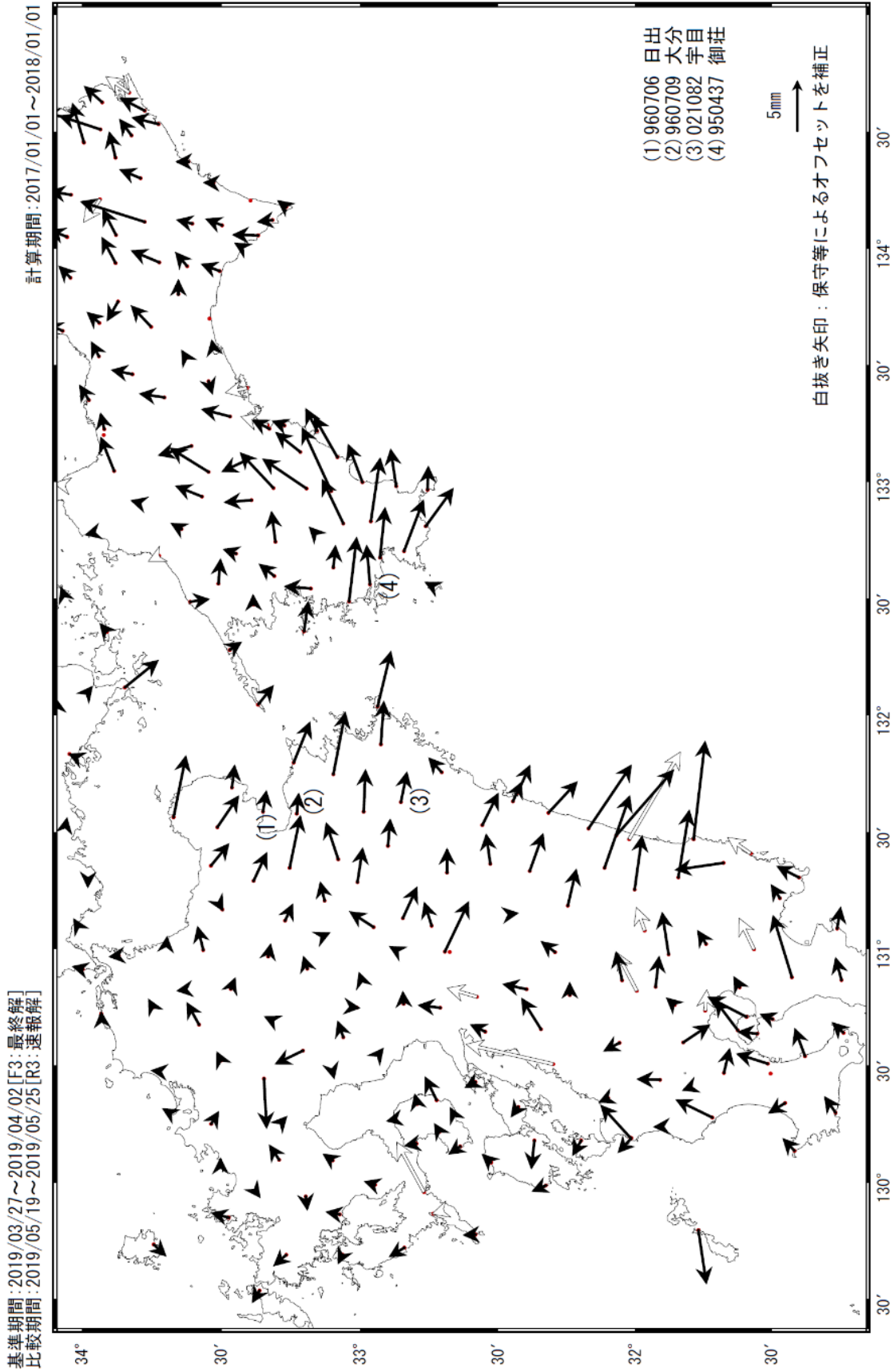
図2：5月17日～21日に観測された傾斜変化ベクトル（青矢印）、推定されたスローリップイベントの
断面モデル（赤矩形・矢印）、モデルから計算される傾斜変化ベクトル（白抜き矢印）を示す。1時間ごと
の微動エネルギーの重心位置（橙丸）もあわせて示す。すべり角はプレート相対運動方向に固定している。

謝辞

気象庁のWEBページで公開されている気象データを使用させて頂きました。記して感謝いたします。

（国土地理院による GNSS 解析）

九州北部・四国西部の非定常水平地殻変動（1次トレント・年周期・半年周期除去後）



☆ 固定局：福江 (950462)

国土地理院

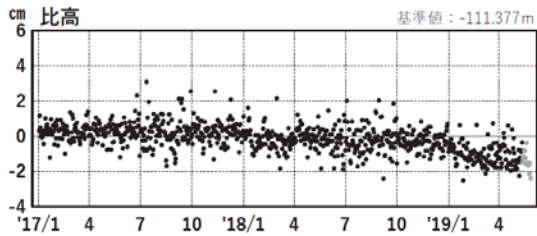
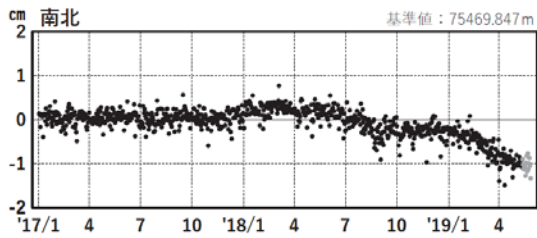
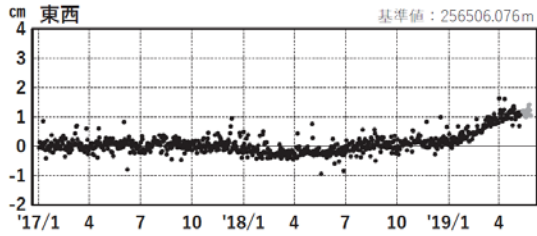
九州北部・四国西部 G N S S 連続観測時系列

1次トレンド・年周成分・半年周成分除去後グラフ

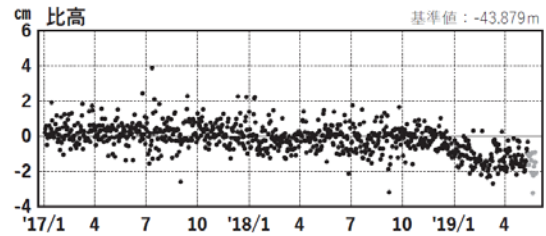
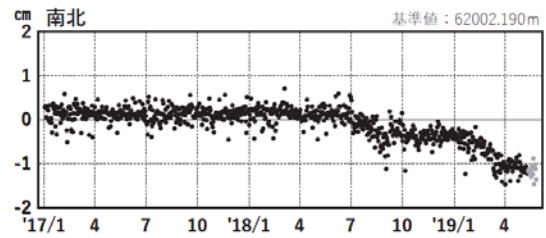
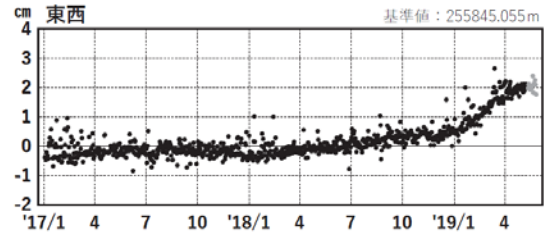
期間: 2017/01/01~2019/05/27 JST

計算期間: 2017/01/01~2018/01/01

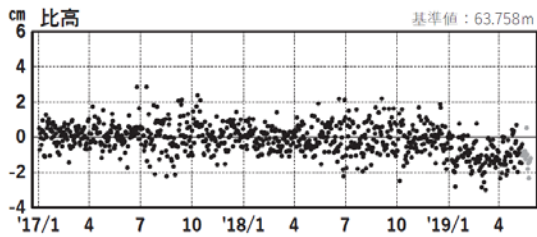
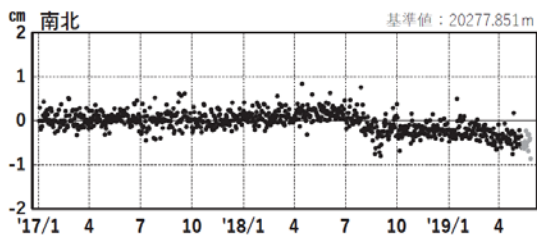
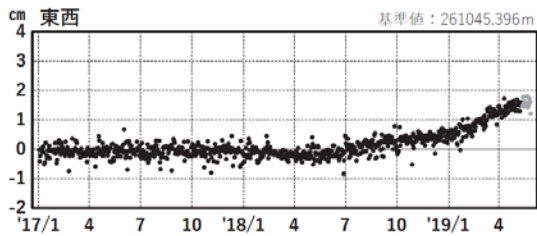
(1) 福江(950462)―日出(960706)



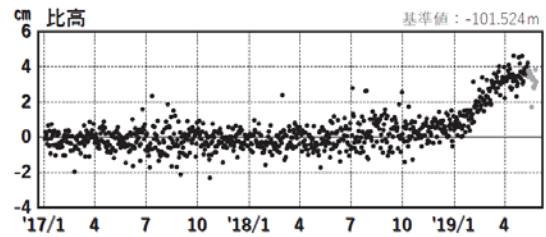
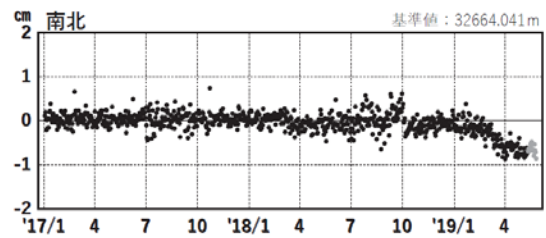
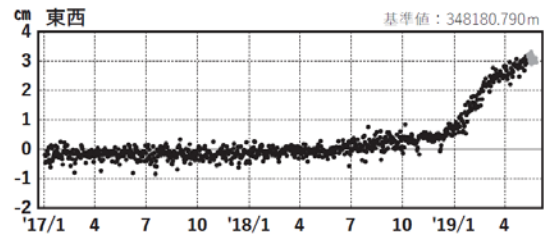
(2) 福江(950462)―大分(960709)



(3) 福江(950462)―宇目(021082)



(4) 福江(950462)―御荘(950437)

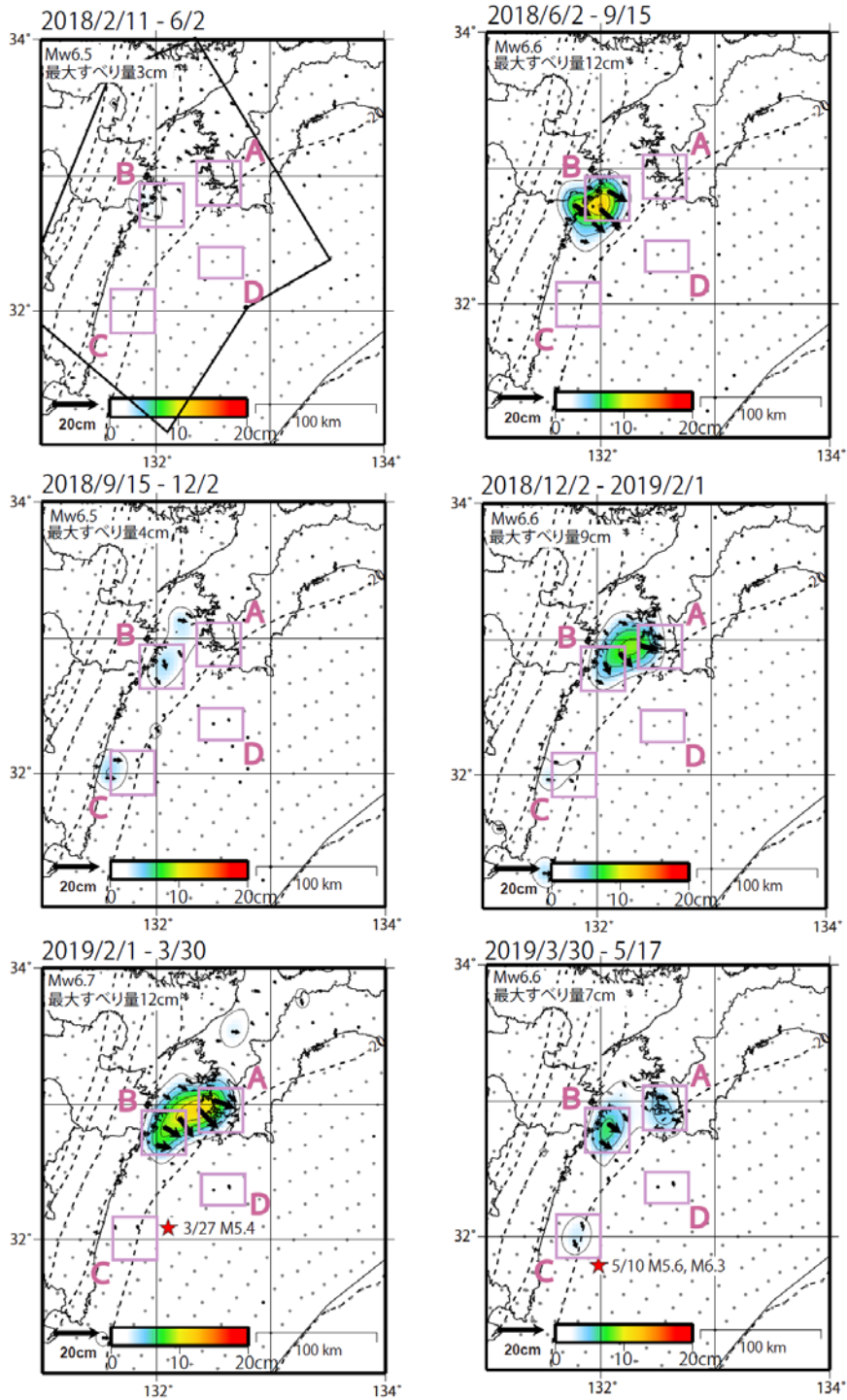


●---[F3:最終解] ●---[R3:速報解]

国土地理院

GNSSデータから推定された日向灘・豊後水道の長期的ゆっくりすべり(暫定)

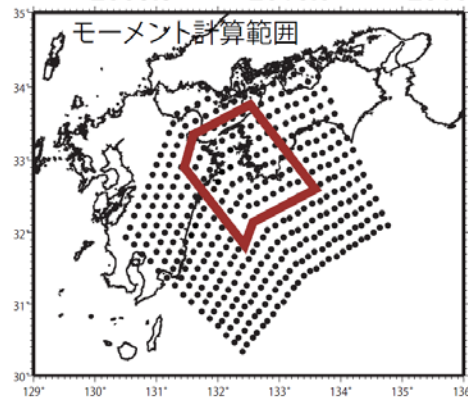
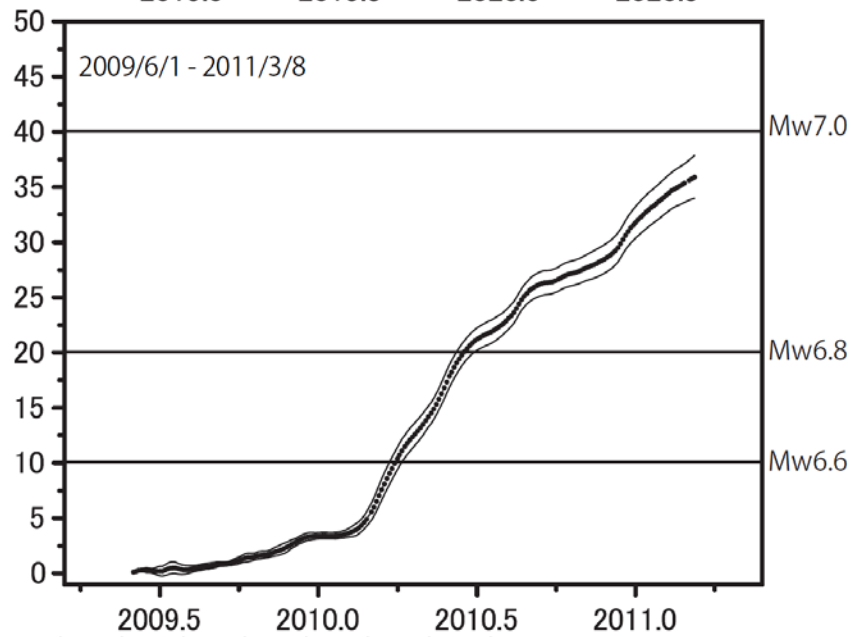
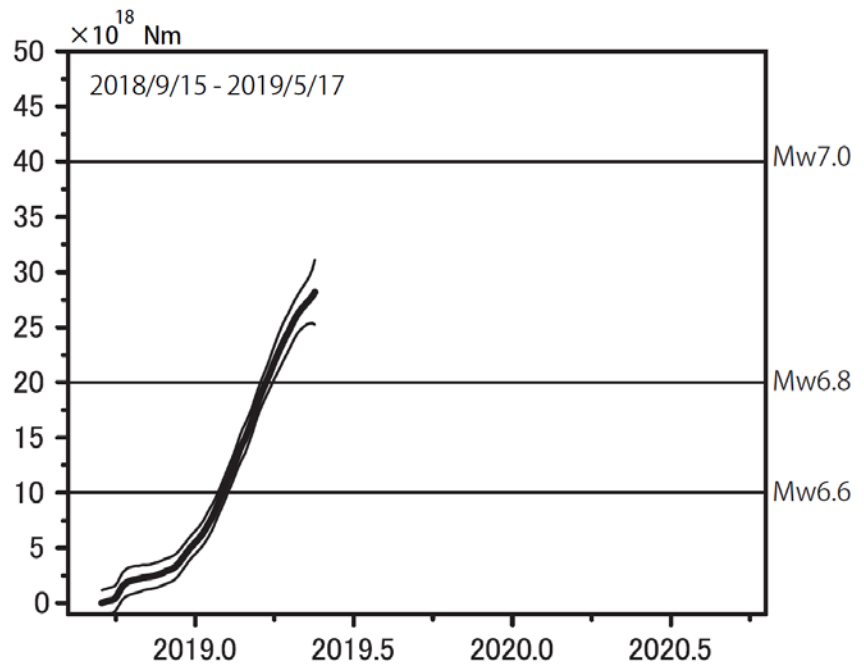
推定すべり分布



※推定したすべり量が、標準偏差(σ)の3倍未満のグリッドを灰色で表示している。

データ:F3解(~2019/5/4)+R3解(2019/5/5~5/17)
 トレンド期間:2017/1/1 - 2018/1/1
 モーメント計算範囲:左上図の黒枠内側
 黒破線:フィリピン海プレート上面の等深線(弘瀬・他、2007)
 コンター間隔:2cm
 固定局:福江

モーメント^{*} 積算図（試算）



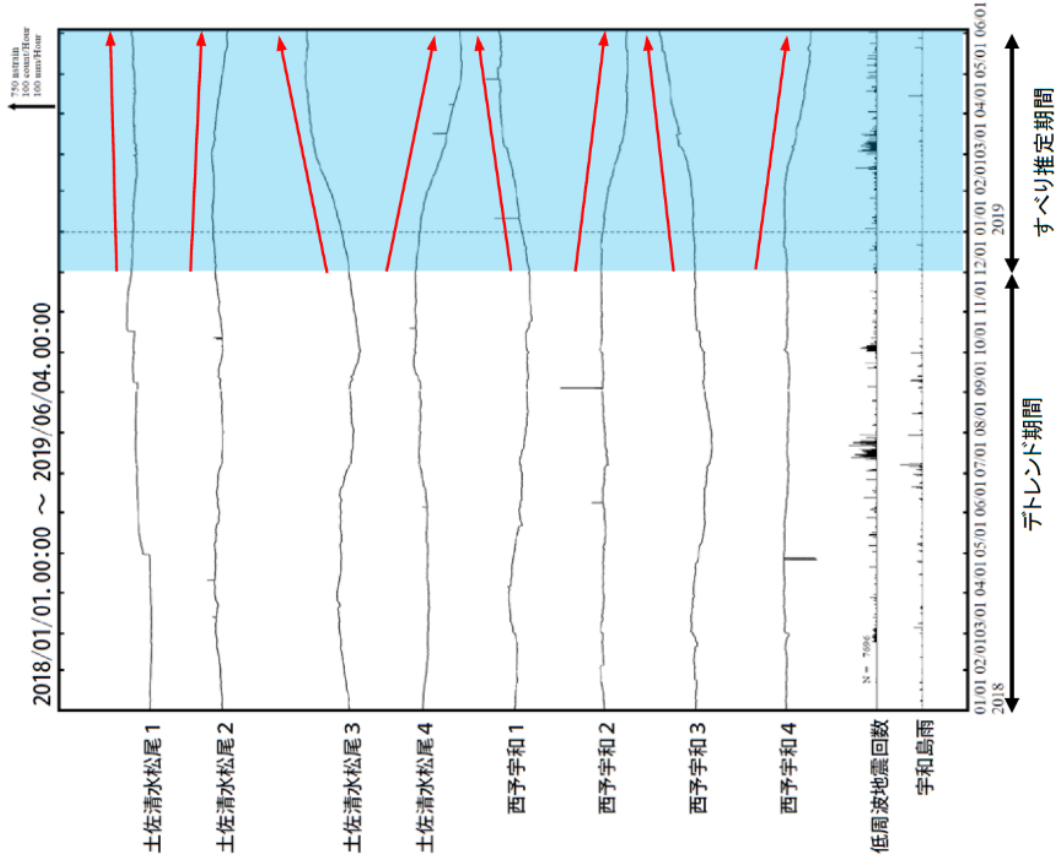
モーメント積算図には、標準偏差 (σ) の3倍を誤差として表示。

※モーメント
断層運動のエネルギーの目安となる量。
地震の場合のMw（モーメント・マグニチュード）
に換算できる。

国土地理院

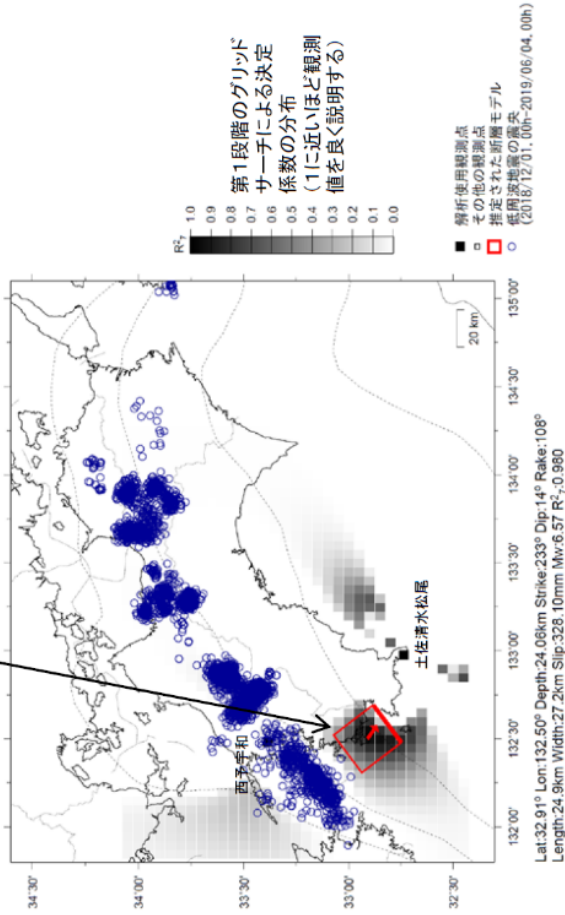
豊後水道で発生している長期的ゆっくりすべり

愛媛県から高知県で観測されたひずみ変化



ひずみ変化から推定される断層モデル

2018年12月1日～2019年6月3日
Mw6.6



左図に観測されたひずみ変化のうち、赤矢印を付した観測点での変化量を元にすべり推定を行ったところ、上図に示す領域にすべり域が求まった。

断層モデルの推定は、産総研の解析方法(板場ほか, 2012)を参考に以下の2段階で行う。
 ・断層サイズを20km × 20kmに固定し、位置を0.05度単位でグリッドサーチにより推定する。
 ・その位置を中心に、他の断層パラメータの最適解を求める。

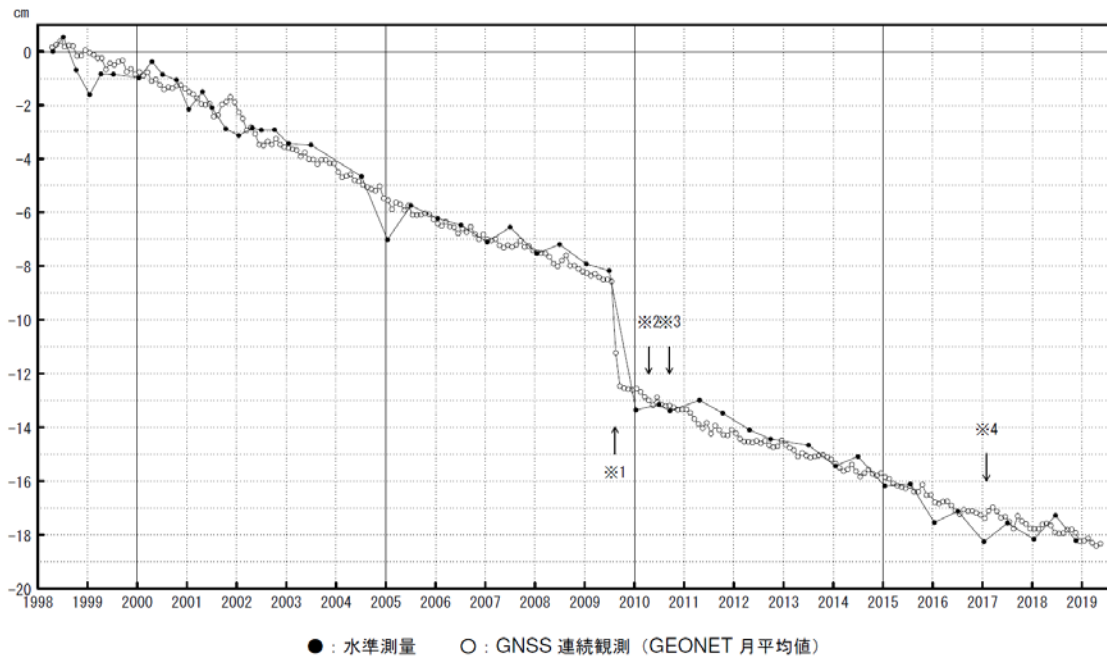
土佐清水松尾及び西予宇和は産業技術総合研究所のひずみ計である。

気象庁作成

御前崎 電子基準点の上下変動
水準測量と GNSS 連続観測

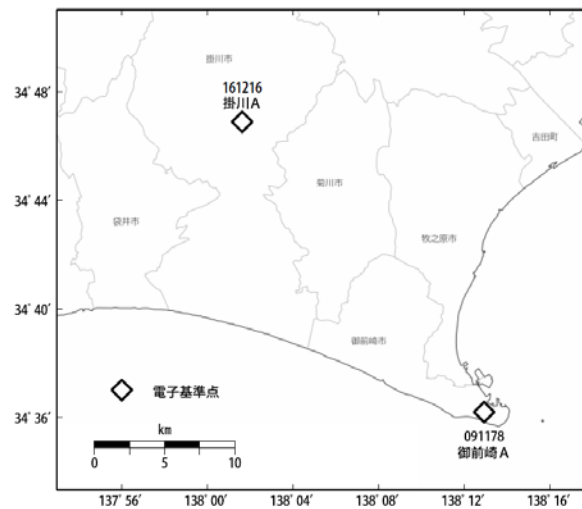
掛川に対して、御前崎が沈降する長期的な傾向が続いている。

掛川 A (161216) - 御前崎 A (091178)



・最新のプロット点は 05/01~05/11 の平均。

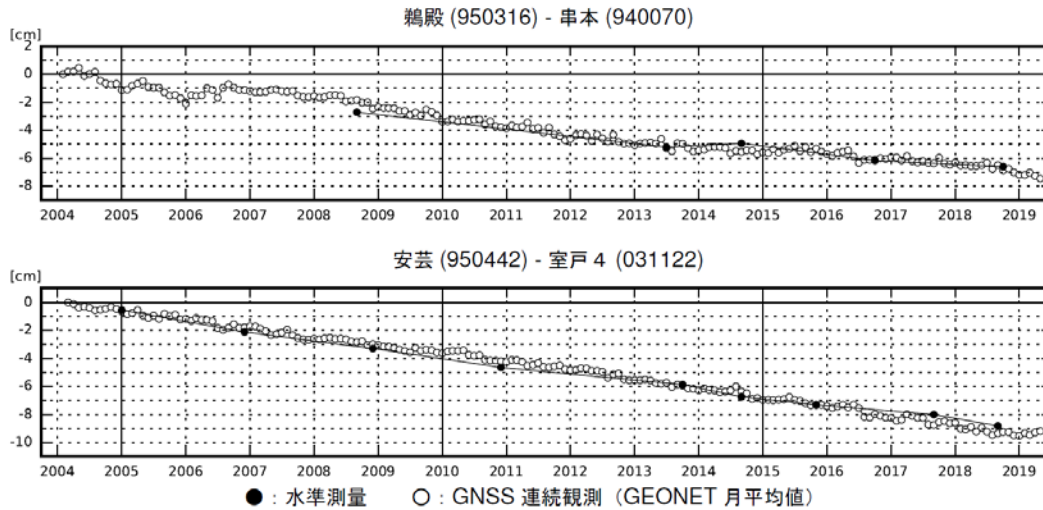
- ※1 電子基準点「御前崎」は 2009 年 8 月 11 日の駿河湾の地震 (M6.5) に伴い、地表付近の局所的な変動の影響を受けた。
- ※2 2010 年 4 月以降は、電子基準点「御前崎」をより地盤の安定している場所に移転し、電子基準点「御前崎 A」とした。上記グラフは電子基準点「御前崎」と電子基準点「御前崎 A」のデータを接続して表示している。
- ※3 水準測量の結果は移転後初めて変動量が計算できる 2010 年 9 月から表示している。
- ※4 2017 年 1 月 30 日以降は、電子基準点「掛川」は移転し、電子基準点「掛川 A」とした。上記グラフは電子基準点「掛川」と電子基準点「掛川 A」のデータを接続して表示している。



国土地理院

紀伊半島及び室戸岬周辺 電子基準点の上下変動

潮岬周辺及び室戸岬周辺の長期的な沈降傾向が続いている。

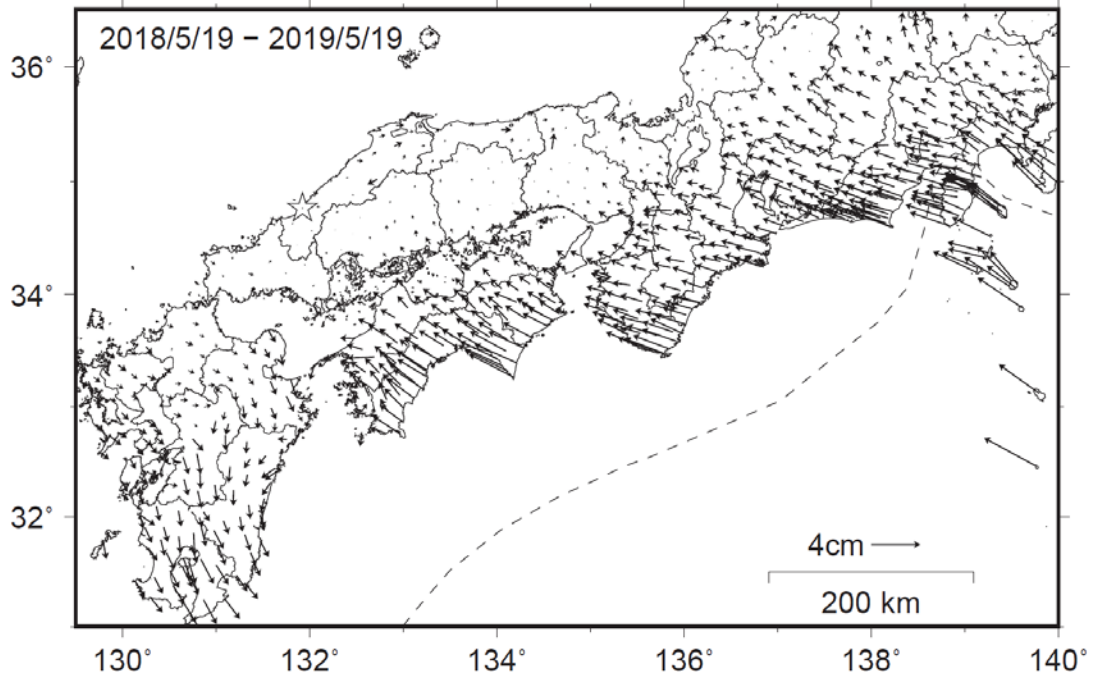


- ・ 最新のプロット点は 5/1~5/11 の平均。
- ・ 水準測量による結果については、最寄りの一等水準点の結果を表示している。

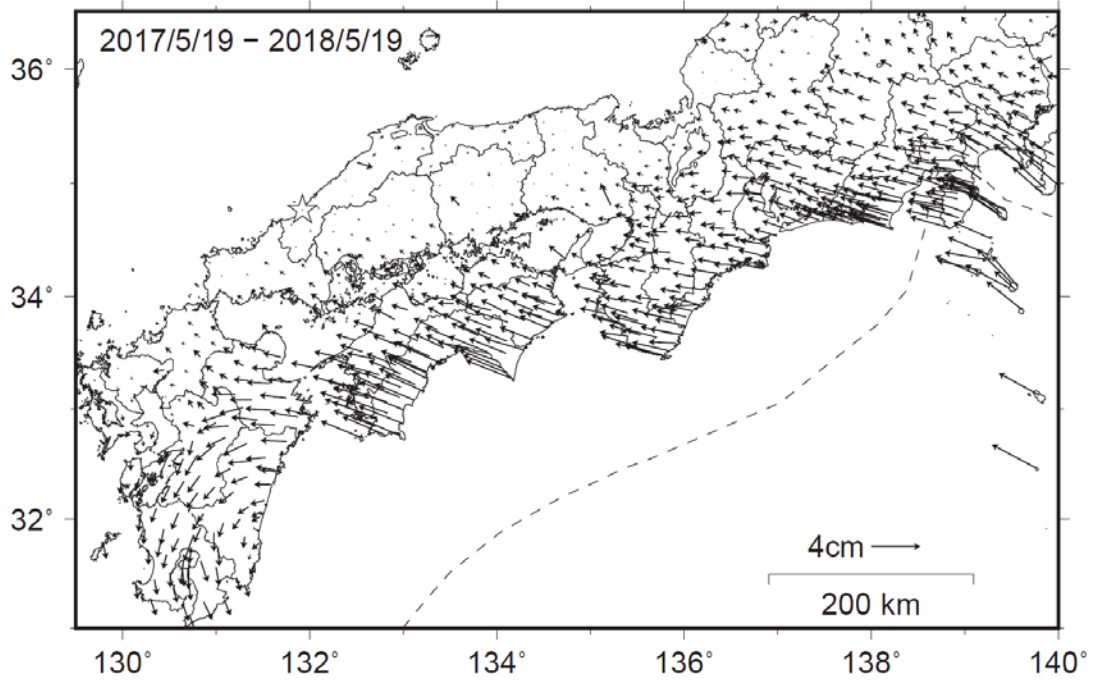


南海トラフ沿いの水平地殻変動【固定局：三隅】

【最近1年間】



【1年前の1年間】



国土地理院

2019年5月10日日向灘の地震（M6.3）後に観測された歪変化について

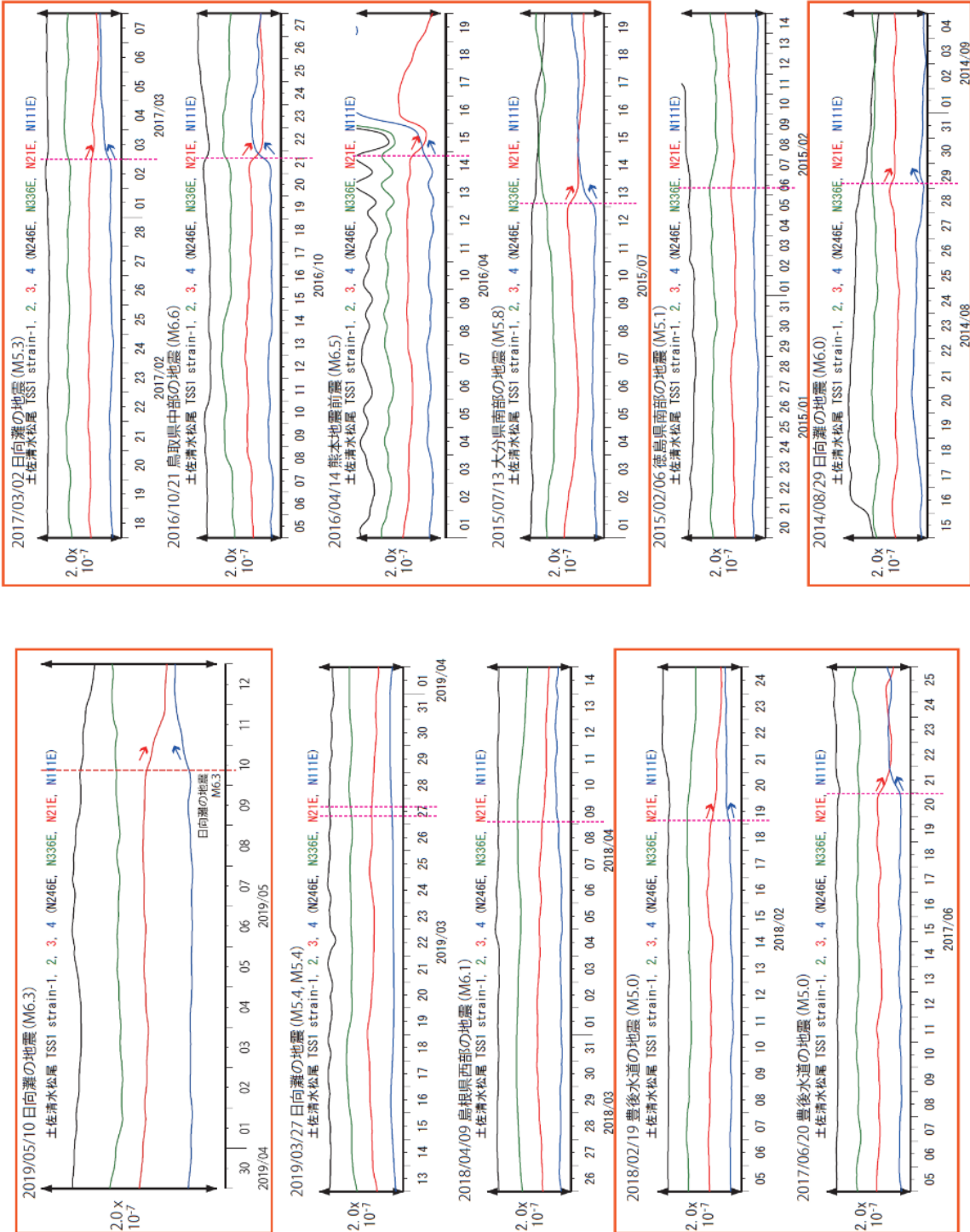


図1: 過去5年間の地震前後のTSS1における歪変化。潮汐・気圧応答成分および地震前までの1次トレンドを除去している。産業技術総合研究所 資料-11

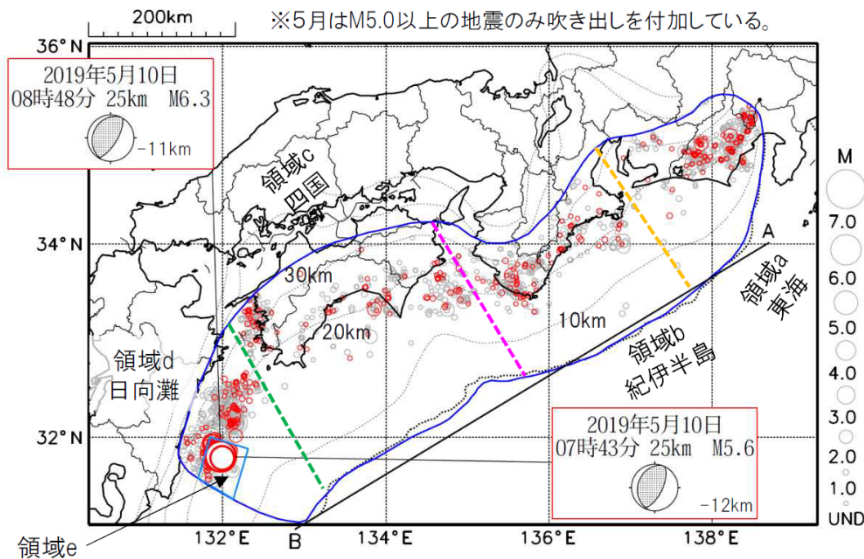
プレート境界とその周辺の地震活動

フィリピン海プレート上面の深さから±6km未満の地震を表示している。
日向灘の領域e内のみ、深さ20km～30kmの地震を追加している。

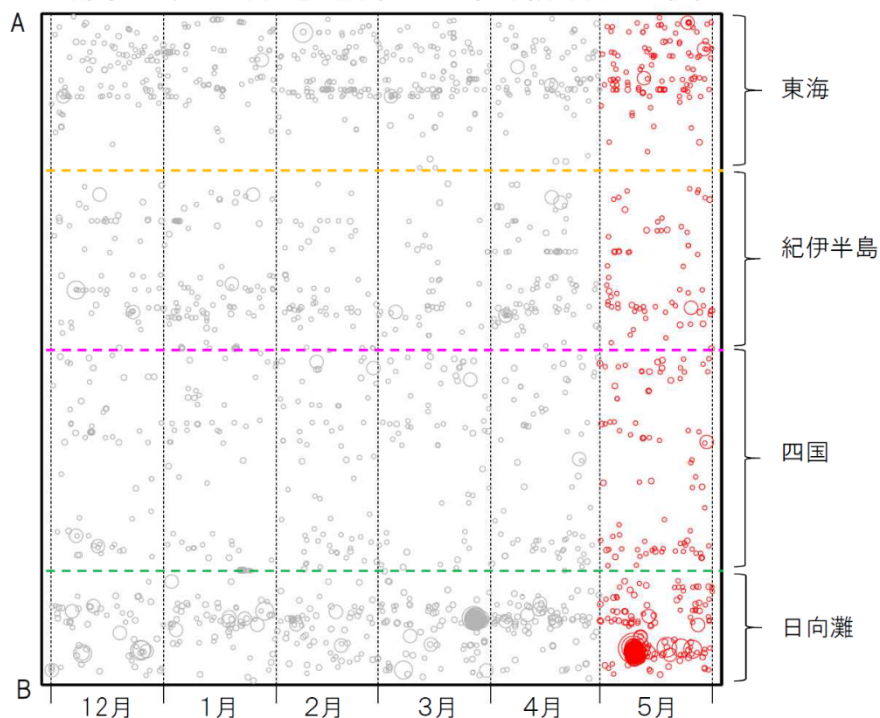
震央分布図

(2018年12月1日～2019年5月31日、M全て、2019年5月の地震を赤く表示)

※5月はM5.0以上の地震のみ吹き出しを付加している。



南海トラフ巨大地震の想定震源域内の時空間分布図(A-B投影)



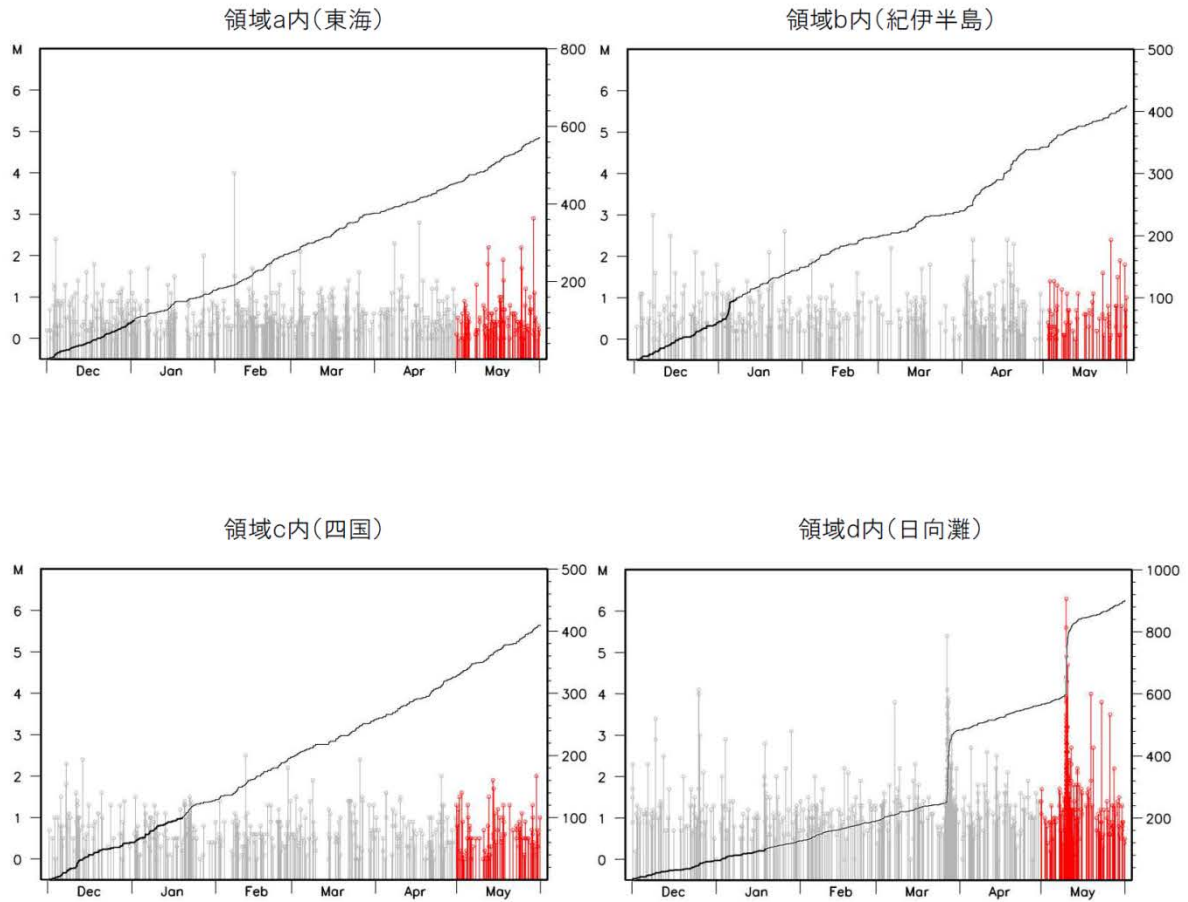
- ・フィリピン海プレート上面の深さは、Hirose et al.(2008)、Baba et al.(2002)による。震央分布図中の点線は10kmごとの等深線を示す。
- ・今期間の地震のうち、M3.2以上の地震で想定南海トラフ地震の発震機構解と類似の型の地震に吹き出しを付している。吹き出しの右下の数値は、フィリピン海プレート上面の深さからの差（+は浅い、-は深い）を示す。
- ・発震機構解の横に「S」の表記があるものは、精度がやや劣るものである。

気象庁作成

プレート境界とその周辺の地震活動

フィリピン海プレート上面の深さから±6km未満の地震を表示している。

震央分布図の各領域内のMT図・回数積算図



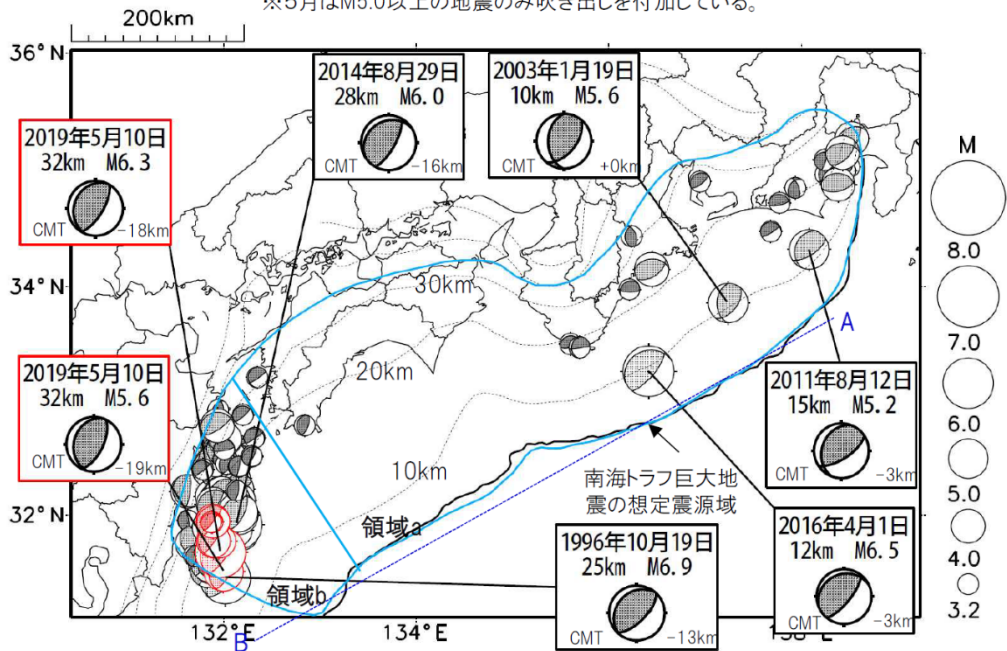
※M全ての地震を表示していることから、検知能力未満の地震も表示しているため、回数積算図は参考として表記している。

気象庁作成

想定南海トラフ地震の発震機構解と類似の型の地震

震央分布図(1987年9月1日～2019年5月31日、M \geq 3.2、2019年5月の地震を赤く表示)

※5月はM5.0以上の地震のみ吹き出しを付加している。



・フィリピン海プレート上面の深さは、Hirose et al.(2008)、Baba et al.(2002)による。震央分布図中の点線は10kmごとの等深線を示す。

・今期間に発生した地震(赤)、日向灘のM6.0以上、その他の地域のM5.0以上の地震に吹き出しを付けている。

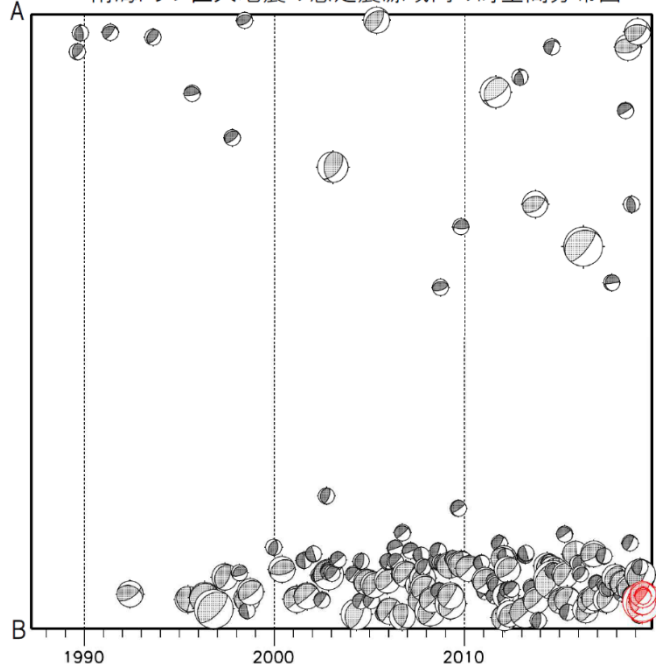
・発震機構解の横に「S」の表記があるものは、精度がやや劣るものである。

・吹き出しの右下の数値は、フィリピン海プレート上面の深さからの差を示す。+は浅い、-は深いことを示す。

・吹き出しに「CMT」と表記した地震は、発震機構解と深さはCMT解による。Mは気象庁マグニチュードを表記している。

・発震機構解の解析基準は、解析当時の観測網等に応じて変遷しているため一定ではない。

南海トラフ巨大地震の想定震源域内の時空間分布図



プレート境界型の地震と類似の型の発震機構解を持つ地震は以下の条件で抽出した。

【抽出条件】

- ・M3.2以上の地震
- ・領域a内(南海トラフの想定最大規模の想定震源域内)で発生した地震
- ・発震機構解が以下の条件を全て満たしたものを抽出した。

P軸の傾斜角が45度以下

P軸の方位角が65度以上180度以下(※)

T軸の傾斜角が45度以上

N軸の傾斜角が30度以下

※以外の条件は、東海地震と類似の型を抽出する条件と同様

・発震機構解は、CMT解と初動解の両方で検索をした。

・同一の地震で、CMT解と初動解の両方がある場合はCMT解を選択している。

・東海地方から四国地方(領域a)は、フィリピン海プレート上面の深さから±10km未満の地震のみ抽出した。日向灘(領域b)は、+10km～20km未満の震源を抽出した。CMT解はセントロイドの深さを使用した。

気象庁作成

南海トラフ巨大地震の想定震源域とその周辺の地震活動指数

2019年5月31日

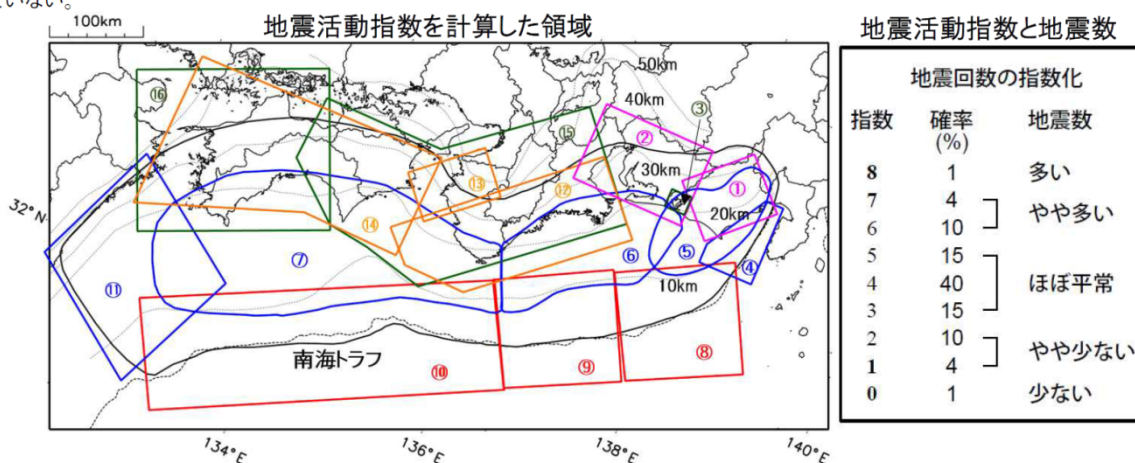
領域	①静岡県 中西部		②愛知県		③浜名湖 周辺	④駿河 湾	⑤東海	⑥東南 海	⑦南海
	地	プ	地	プ	プ	全	全	全	全
地震活動指数	4	4	1	4	5	4	4	1	4
平均回数	16.3	18.4	26.5	13.6	13.1	13.3	18.2	19.6	21.3
MLきい値	1.1		1.1		1.1	1.4	1.5	2.0	2.0
クラスタ 除去	距離		3km		3km	10km	10km	10km	10km
	日数		7日		7日	10日	10日	10日	10日
対象期間	60日	90日	60日	30日	360日	180日	90日	360日	90日
深さ	0～ 30km	0～ 60km	0～ 30km	0～ 60km	0～ 60km	0～ 60km	0～ 60km	0～ 100km	0～ 100km

領域	南海トラフ沿い		⑪日向 灘	⑫紀伊 半島	⑬和歌 山	⑭四国	⑮紀伊半 島	⑯四国
	⑧東側	⑩西側	全	地	地	地	プ	プ
	全	全	全	地	地	地	プ	プ
地震活動指数	6	4	4	1	1	8	5	5
平均回数	12.0	15.1	20.5	23.0	42.3	30.3	27.7	28.1
MLきい値	2.5	2.5	2.0	1.5	1.5	1.5	1.5	1.5
クラスタ 除去	距離		10km	10km	10km	3km	3km	3km
	日数		10日	10日	10日	7日	7日	7日
対象期間	720日	360日	60日	120日	60日	90日	30日	30日
深さ	0～ 100km	0～ 100km	0～ 100km	0～ 20km	0～ 20km	0～ 20km	20～ 100km	20～ 100km

* 基準期間は、全領域1997年10月1日～2019年5月23日

* 領域欄の「地」は地殻内、「プ」はフィリピン海プレート内で発生した地震であることを示す。ただし、震源の深さから便宜的に分類しただけであり、厳密に分離できていない場合もある。「全」は浅い地震から深い地震まで全ての深さの地震を含む。

* ⑨の領域(三重県南東沖)は、2004年9月5日以降の地震活動の影響で、地震活動指数を正確に計算できないため、掲載していない。



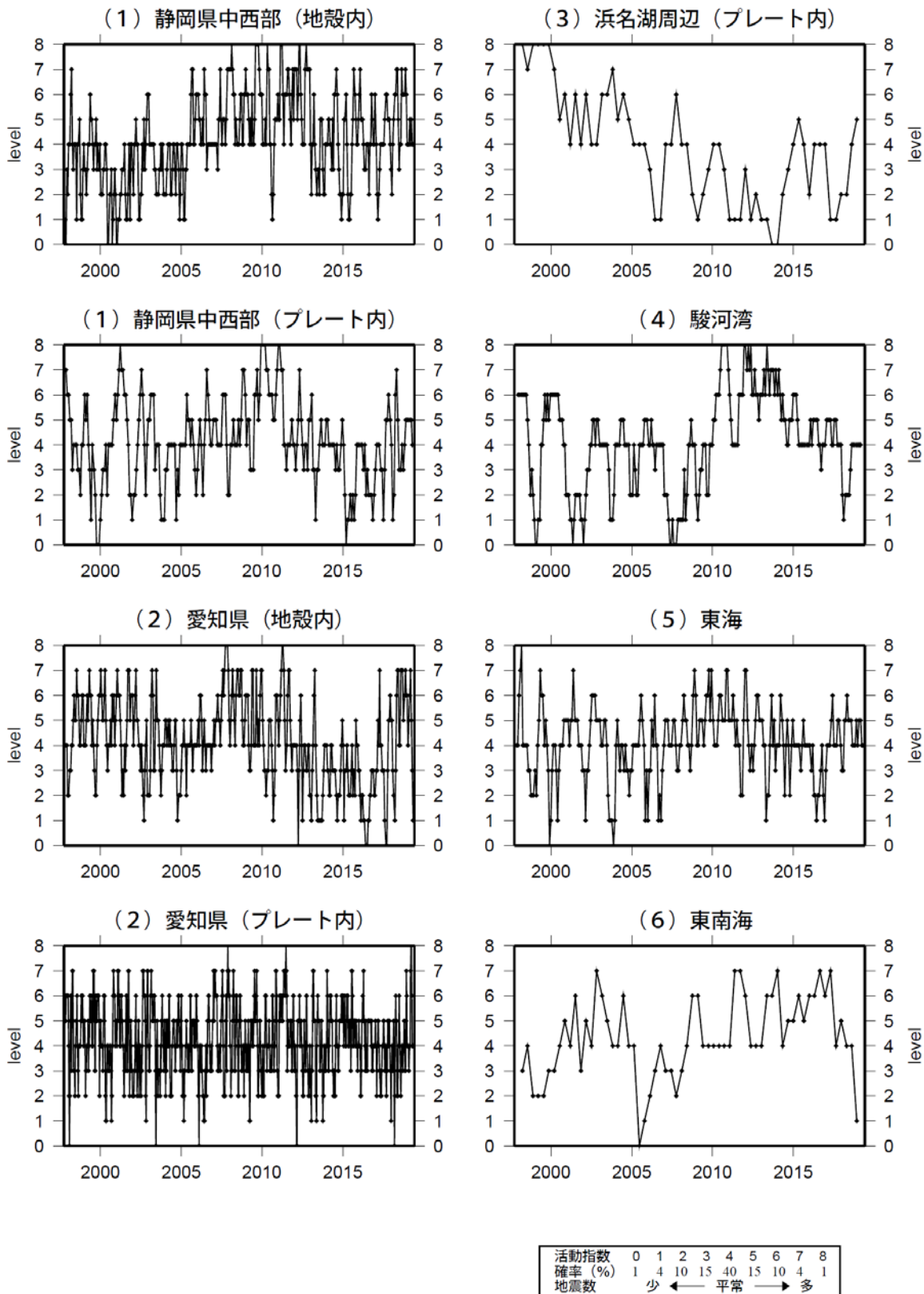
* 黒色実線は、南海トラフ巨大地震の想定震源域を示す。

* Hirose et al.(2008)、Baba et al.(2002)によるプレート境界の等深線を破線で示す。

気象庁作成

地震活動指数一覧

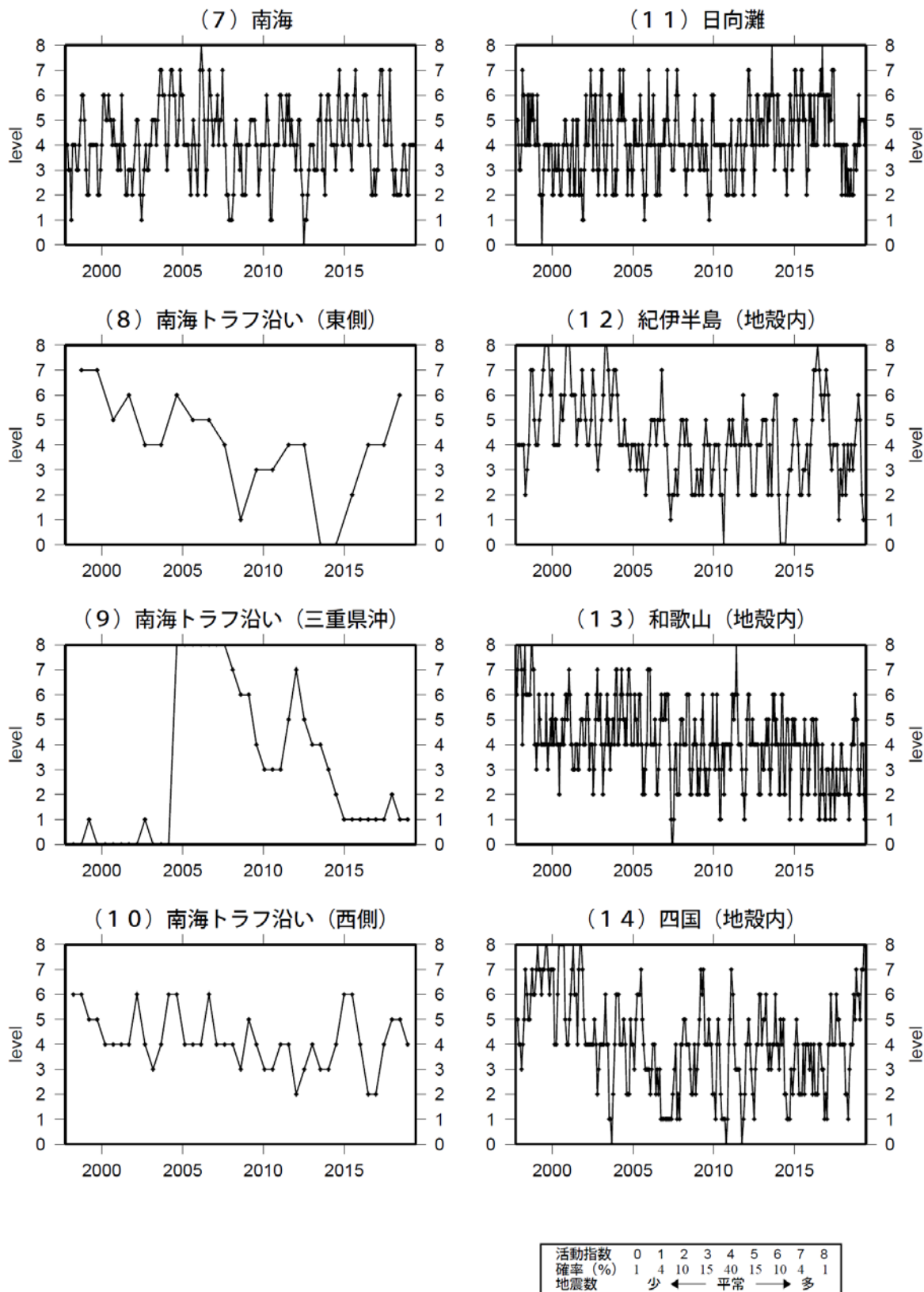
2019年05月31日



気象庁作成

地震活動指数一覧

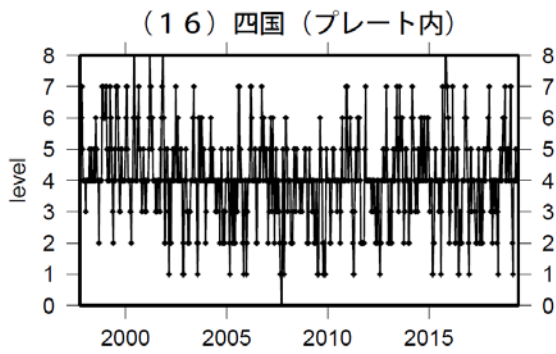
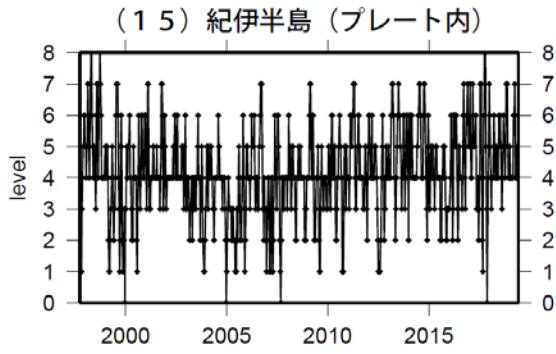
2019年05月31日



気象庁作成

地震活動指数一覧

2019年05月31日



活動指数	0	1	2	3	4	5	6	7	8
確率 (%)	1	4	10	15	40	15	10	4	1
地震数	少		← 平常 →				多		

気象庁作成